

สำนักหอสมุด มหาวิทยาลัยบูรพา
ต.แคนสุข อ.เมือง จ.ชลบุรี 20131



รายงานวิจัย
(ฉบับสมบูรณ์)

ท่อนาโนคาร์บอนแบบผนังหลายชั้นชนิดปรับปรุงผสม
กับวัสดุไฮโอนเมอร์เพื่อประโยชน์ในการตรวจวัดแก๊ส
(Modified Multiwalled Carbon Nanotubes-Based
Ionomers for Gas Sensing Applications)

โดย

นายชัยศักดิ์ อิสโร¹
นางสาวพรเพ็ญ อาทรกิจวัฒน์²
คณะวิทยาศาสตร์

โครงการวิจัยนี้ได้รับการสนับสนุนการวิจัย
จากงบประมาณแผ่นดิน ประจำปีงบประมาณ 2552
17 ม.ค. 2554 มหาวิทยาลัยบูรพา

281138
PK0912005

บริการ
24 ก.พ. 2554

หนังสือบรรจุ

ท่อนาโนคาร์บอนแบบผังหลาຍชั้นชั้นนิดปรับปรุงผสม
กับวัสดุไออกอนิเมอร์เพื่อประโยชน์ในการตรวจวัดแก๊ส
**(Modified Multiwalled Carbon Nanotubes-Based
Ionomers for Gas Sensing Applications)**

โดย

นายชัยศักดิ์ อิสโตร
นางสาวพรเพ็ญ อาทรกิจวัฒน์
คณะวิทยาศาสตร์

โครงการวิจัยนี้ได้รับการสนับสนุนการวิจัย
จากงบประมาณแผ่นดิน ประจำปีงบประมาณ 2552
มหาวิทยาลัยบูรพา

บทคัดย่อ

ท่อนาโนคาร์บอนทำการสังเคราะห์ด้วยวิธีการตกเคลือบไออกไซเดททางเคมี โดยใช้แผ่นฟิล์มบาง นิกเกิลที่ขนาดความหนา 20 นาโนเมตรเป็นตัวคatalystเคลือบบนแผ่นซิลิโคนด้วยวิธีดีซี สปัตเตอร์ริง ในการสังเคราะห์ท่อนาโนคาร์บอนด้วยวิธีไออกไซเดททางเคมีที่อุณหภูมิ 700°C และ 750°C พบลักษณะทางสัณฐานวิทยาของท่อนาโนคาร์บอนเกิดอะมอฟส์คาร์บอนขึ้นเป็นจำนวนมากที่บริเวณผิว เมื่อนำมาท่อนาโนคาร์บอนที่สังเคราะห์ที่อุณหภูมิ 700°C มาทดสอบการตรวจจับโมเลกุลของแก๊สแอมโมเนียที่ความเข้มข้นต่างๆ ที่อุณหภูมิห้อง, 50°C, 75°C และ 100°C พบการเปลี่ยนแปลงความด้านทานของท่อนาโนคาร์บอนสำหรับการตรวจจับแก๊สมีค่าความด้านทานเพิ่มขึ้นสัมพันธ์กับปริมาณและความเข้มข้นที่เพิ่มขึ้นของโมเลกุลของแก๊สแอมโมเนียที่อุณหภูมิ 100°C ผลของการตรวจจับโมเลกุลแก๊สแอมโมเนียของท่อนาโนคาร์บอน มีการเปลี่ยนแปลงความด้านทานที่สูงกว่าอุณหภูมิอื่น

Abstract

Carbon nanotubes (CNTs) were synthesized using thermal chemical vapor deposition (CVD) method. A Ni thin film 20 nm thick as the catalyst for CNTs growth was deposited on a Si substrate by dc sputtering method. In the CVD experiment to synthesis CNTs at 700 °C and 750°C, the morphology of CNTs shows many amorphous carbons forming on the surface. The synthesized CNTs at 700°C was used to detect the different concentration of NH₃ gas at room temperature, 50°C, 75°C and 100°C. Resistance change of CNT-based gas sensors increased with increasing NH₃ gas concentration. At 100°C, the result of the CNT-based gas sensor showed a higher change of resistance than other temperature.

กิตติกรรมประกาศ

งานวิจัยเรื่องนี้นับเป็นจุดเริ่มต้นที่ทางผู้วิจัยสามารถนำความรู้ทางด้านวัสดุศาสตร์ เกี่ยวกับสมบัติของห่อนาโนคาร์บอน มาใช้ให้เกิดประโยชน์ในชีวิตประจำวันในการตรวจจับแก๊ส โดยงานวิจัยนี้ไม่สามารถดำเนินเสร็จลุล่วงไปได้ ถ้าขาดการสนับสนุนจากบุคคลต่างๆ ผู้วิจัย ได้รับคำปรึกษาและขอความอนุเคราะห์การใช้อุปกรณ์และเครื่องมือในการวิเคราะห์ ทางผู้วิจัย ขอขอบคุณ ดร.ภูวดล วรรณนนชัยแสง ที่ให้ความช่วยเหลือในการวิเคราะห์สมบัติของห่อนาโน คาร์บอนด้วยเทคนิคของ Raman Spectroscopy ตลอดระยะเวลาของการดำเนินงานโครงการ ขอขอบคุณเจ้าหน้าที่ศูนย์กล้องจุลทรรศน์อิเล็กตรอน คณะวิทยาศาสตร์ มหาวิทยาลัยบูรพา ที่ให้ ความอนุเคราะห์ในการใช้กล้องจุลทรรศน์อิเล็กตรอน รวมทั้งบุคคลอื่นๆ ผู้ที่มีส่วนร่วมสนับสนุน งานวิจัยนี้

สุดท้ายขอขอบคุณ มหาวิทยาลัยบูรพาและสำนักงานคณะกรรมการวิจัยแห่งชาติ ที่ให้ การสนับสนุนทุนวิจัยให้ทางคณะวิจัยได้มีโอกาสศึกษาและพัฒนางานวิจัยจนสำเร็จลุล่วง

ขัยศักดิ์ อิสโร¹
พรเพ็ญ อาทรกิจวัฒน์²
คณะวิทยาศาสตร์ มหาวิทยาลัยบูรพา

สารบัญ

บทที่	หน้า
1. บทนำ	1
1.1 ความเป็นมาและความสำคัญของปัญหา	1
1.2 วัตถุประสงค์ของโครงการวิจัย	2
1.3 ขอบเขตของโครงการวิจัย (เฟสแรก)	2
1.4 ประโยชน์ที่คาดว่าจะได้รับจากโครงการ	4
2. เอกสารและงานวิจัยที่เกี่ยวข้อง	5
2.1 ท่อนาโนคาร์บอน	5
2.2 โครงสร้างของ CNTs	6
2.3 เทคนิคการสังเคราะห์ CNTs	7
2.4 อิทธิพลที่มีผลต่อการเติบโตของ CNTs	9
2.5 ประโยชน์ของ CNTs สำหรับดั่งตรวจจับแก๊ส	13
3. วิธีดำเนินงานวิจัย	14
3.1 ขั้นตอนการเตรียมฟิล์มนิกเกิล	14
3.2 ระบบที่ใช้ในการเตรียม CNTs	16
3.3 ขั้นตอนการสังเคราะห์ CNTs	17
3.4 เทคนิคและกระบวนการในการวิเคราะห์ CNTs	17
3.5 ขั้นตอนการเตรียม CNTs สำหรับทดสอบแก๊สเซ็นเซอร์	17
4. ผลการดำเนินงาน	19
4.1 ผลการวิเคราะห์รูปร่างของฟิล์มนิกเกิล	19
4.2 ผลการวิเคราะห์รูปร่างและโครงสร้างของ CNTs ที่สังเคราะห์ด้วยวิธี CVD	22
4.3 ผลการวิเคราะห์ด้วยเครื่อง Raman spectroscopy	26
4.4 ผลทางไฟฟ้าของ CNTs สำหรับดั่งตรวจจับแก๊ส	27
5. สรุป อภิปรายผล และข้อเสนอแนะ	34
ภาคผนวก (เอกสารที่ได้ดำเนินการเผยแพร่)	41

สารบัญตาราง

ตารางที่	หน้า
----------	------

3.1 แสดงดั้งแปรต่างๆที่ใช้ในการเตรียมฟิล์มนิกเกิลด้วยวิธี DC Sputtering

14

สารบัญภาพประกอบ

รูปที่	หน้า
--------	------

2.1 แสดงภาพของเวกเตอร์ C

6

2.2 แสดงลักษณะของ CNTs แบบผนังชั้นเดียวที่โครงสร้างต่างๆ

7

2.3 แสดงภาพการเกิด CNTs แบบ base-growth และ tip-growth

11

3.1 แสดงลักษณะของชั้นฟิล์มนิกเกิลที่เคลือบบนแผ่นซิลิโคนด้วยวิธี

15

DC Sputtering

3.2 แสดงระบบที่ใช้ในการสังเคราะห์ CNTs แบบ CVD

16

3.3 ระบบการทดสอบ CNTs สำหรับแก๊สเซ็นเซอร์

18

4.1 ภาพถ่าย SEM แสดงลักษณะพื้นผิวด้านบนของอนุภาคนิกเกิล
ที่อุณหภูมิ 700°C

19

4.2 ภาพถ่าย SEM แสดงลักษณะพื้นผิวด้านบนของอนุภาคนิกเกิล
ที่อุณหภูมิ 750°C

20

4.3 ภาพถ่าย SEM แสดงลักษณะพื้นผิวด้านบนของอนุภาคนิกเกิล
ที่อุณหภูมิ 800°C

21

4.4 ภาพถ่าย SEM แสดงลักษณะพื้นผิวด้านบนของ CNTs
ที่อุณหภูมิ 700°C

22

4.5 ภาพถ่าย SEM แสดงลักษณะภาพตัดขวางของ CNTs
ที่อุณหภูมิ 700°C

23

4.6 ภาพถ่าย TEM แสดงลักษณะของ CNTs ที่อุณหภูมิ 700°C

24

4.7 ภาพถ่าย SEM แสดงลักษณะพื้นผิวด้านบนของ CNTs
ที่อุณหภูมิ 750°C

25

4.8 ภาพถ่าย SEM แสดงลักษณะภาพตัดขวางของ CNTs
ที่อุณหภูมิ 750°C

26

4.9 แสดงสเปกตรัมรaman ของ CNTs ภายใต้การสังเคราะห์
ที่อุณหภูมิ 700°C

27

4.10 แสดงการเปลี่ยนแปลงความด้านทานของCNTs ที่อุณหภูมิห้องภายใต้บรรยากาศของแก๊สแอมโมเนียที่ความเข้มข้นต่างๆ	28
4.11 แสดงการเปลี่ยนแปลงความด้านทานของCNTs ที่อุณหภูมิ 50°C ภายใต้บรรยากาศของแก๊สแอมโมเนียที่ความเข้มข้นต่างๆ	29
4.12 แสดงการเปลี่ยนแปลงความด้านทานของCNTs ที่อุณหภูมิ 75°C ภายใต้บรรยากาศของแก๊สแอมโมเนียที่ความเข้มข้นต่างๆ	30
4.13 แสดงการเปลี่ยนแปลงความด้านทานของCNTs ที่อุณหภูมิ 100°C ภายใต้บรรยากาศของแก๊สแอมโมเนียที่ความเข้มข้นต่างๆ	31
4.14 แสดงการเปลี่ยนแปลงความด้านทานของ CNTs ที่อุณหภูมิห้องภายใต้ บรรยากาศของแก๊สออกซิเจน	32
4.15 แสดงการเปลี่ยนแปลงความด้านทานของ CNTs ที่อุณหภูมิ 50,75 และ 100 องศาเซลเซียสภายใต้บรรยากาศของแก๊สออกซิเจน	32

บทที่ 1

บทนำ

1.1 ความเป็นมาและความสำคัญของปัจจุบัน

ท่อนาโนคาร์บอน (Carbon nanotubes, CNTs) มีส่วนสำคัญและตึงดูดความสนใจในปัจจุบันเนื่องจากสามารถดูดซับโมเลกุลของแก๊สได้ดี เหมาะสำหรับเป็นวัสดุกักเก็บแก๊ส เพื่อใช้เป็นเซลล์พลังงาน ตัวเปล่งแสง หรือ เป็นแก๊สเซ็นเซอร์ และเนื่องจากการมีสมบัติเฉพาะทางอิเล็กทรอนิกส์และทางกายภาพของ CNTs รวมทั้งการมีขนาดท่อที่เล็กย่อมเพิ่มพื้นที่ผิวในการดูดซับแก๊ส ซึ่งน่าจะเป็นวัสดุดูดเลือกหนึ่งที่สำคัญในการนำไปใช้ประโยชน์ในอนาคต จากผลของการศึกษาวิจัยก่อนหน้านี้ ได้มีการศึกษาทั้งในเชิงทฤษฎีและการทดลอง ทำให้ทราบว่ามีการเปลี่ยนแปลงของอิเล็กตรอนเกิดขึ้นใน CNTs หลังจากการดูดซับโมเลกุลของแก๊ส โดยมีการศึกษาใน CNTs ทั้งชนิดแบบผนังชั้นเดียว (single walled nanotubes, SWNTs) และ ชนิดแบบผนังหลายชั้น (multiwalled carbon nanotubes, MWNTs) ผลจากการศึกษาดังกล่าวทำให้ทราบถึงพฤติกรรมการเปลี่ยนแปลงของอิเล็กตรอนใน CNTs หลังการดูดซับโมเลกุลของแก๊ส ซึ่งก่อให้เกิดการเปลี่ยนแปลงสมบัติทางกายภาพที่สำคัญ เช่น ค่าสภาพนำไฟฟ้าของ CNTs เนื่องจากเกิดการยึดเหนี่ยวตัวแวดวงอย่างอ่อนระหว่างโมเลกุลแก๊สและอะตอมบริเวณผิวของ CNTs และมีการถ่ายเทประจุเกิดขึ้นในบริเวณดังกล่าว และที่น่าสนใจ CNTs มีสมบัติที่ไวต่อการตรวจจับแก๊ส เช่น NO_2 , O_2 , NH_3 , N_2 , CO_2 , H_2 หรือ H_2O ในสิ่งแวดล้อมที่อุณหภูมิต่ำ แต่อย่างไรก็ตามการที่จะนำ CNTs มาใช้ประโยชน์ในการตรวจจับแก๊สยังมีข้อจำกัด เนื่องจากความยากในการเขียนรูป CNTs ให้อยู่ในรูปแบบด่างๆ จึงทำให้ CNTs ถูกจำกัดในการนำไปใช้งาน ดังนั้นเพอลิเมอร์สม CNTs จึงเป็นทางเลือกหนึ่งที่สามารถเขียนรูป CNTs ได้ในรูปแบบด่างๆ และนำมาซึ่งประโยชน์ในการนำมาใช้งานได้กว้างขวางขึ้น ซึ่งสำหรับงานวิจัยนี้เพอลิเมอร์ที่จะนำมาใช้เป็นชนิดที่รู้จักในนามของไอโอดีโนเมอร์ (ionomers)

ไอโอดีโนเมอร์เป็นเพอลิเมอร์ชนิดที่มีหมุกรดติดอยู่กับโครงสร้างหลัก ซึ่ง H^+ สามารถแลกเปลี่ยนประจุกับไอโอนบวกของโลหะให้สมบัติในการนำไปใช้ที่ดีกว่าเพอลิเมอร์เชิงพาณิชย์ทั่วไป นอกจากนี้ การรวมกันของกลุ่มไอโอนิกน์ (เรียกว่า clusters) ยังสามารถทำให้เป็นตัวเชื่อมโยงเพอลิเมอร์โมเลกุล (cross links) ในรูปแบบชั่วคราว ซึ่งทำให้ ionomers มีสมบัติทางกลที่ดีกว่าเพอลิเมอร์อื่นๆ อีกด้วย จากสมบัติเฉพาะดั้งของไอโอดีโนเมอร์นี้ทางคณะผู้วิจัยจึงสนใจที่จะนำไอโอดีโนเมอร์มาใช้ประโยชน์ร่วมกับ CNTs โดยการสร้างพันธะยึดเหนี่ยวระหว่างอะตอมที่ผิวของ CNTs กับไอโอดีโนเมอร์เพื่อเพิ่ม

ความแข็งแรงและสมบัติทางกายภาพอื่นๆ และยังคาดว่าด้วยสมบัติของไอโอดีเมอร์เอง เมื่อรวมกับ สมบัติของ CNTs จะช่วยเพิ่มประสิทธิภาพในการนำไปใช้ผลิตเป็นอุปกรณ์เซ็นเซอร์ได้เป็นอย่างดี ทั้งนี้ ทางคณะผู้วิจัยจะสังเคราะห์ไอโอดีเมอร์แบบบางส่วนเปลี่ยนเป็นไอโอนบวกของโลหะเงิน และยังคง ส่วนหนึ่งเป็นหมู่กรด จากนั้นจะศึกษาการเติมหมู่ฟังก์ชัน เช่น กรรมการบออกซิลิกแอกซิดลงบนผิวของ CNTs เพื่อให้หมู่กรดของไอโอดีเมอร์ และ CNTs ยึดเกาะกันได้ หลังจากสามารถเดรียลม้วสุดผสมของ ไอโอดีเมอร์ และ CNTs จะทดสอบสมบัติทางกายภาพต่างๆ เช่น โครงสร้างและสัณฐานวิทยา (Morphology) ของวัสดุผสม สมบัติทางกลศาสตร์ สมบัติทางไฟฟ้าและความสามารถในการเป็นตัวดูด ซับโมเลกุลแก๊สต่างๆ โดยจะศึกษาจากการเปลี่ยนแปลงสภาพความด้านทานไฟฟ้าภายใต้การดูดซับโมเลกุลแก๊ส โมเลกุลแก๊สต่างๆ เปรียบเทียบกับความด้านทานไฟฟ้าของวัสดุผสมก่อนการดูดซับโมเลกุลแก๊ส

ดังนั้นงานวิจัยนี้จะแบ่งงานออกเป็นสองเฟสด้วยกัน คือ (1) ทำการผลิต CNTs ด้วยวิธีการ เคลือบไออกไซเดทเมทิล (chemical vapor deposition, CVD) ตลอดจนศึกษาสมบัติ CNTs ที่ผลิตได้ (2) ทำการสังเคราะห์ไอโอดีเมอร์ ปรับปรุงผิวของ CNTs และผลิตวัสดุผสมของไอโอดีเมอร์ กับ CNTs อีก ทั้ง ศึกษาโครงสร้าง สัณฐานวิทยา และสมบัติต่างๆ ของวัสดุผสมที่ได้ เพื่อการนำไปใช้งานในด้านการ ตรวจจับแก๊ส

1.2 วัตถุประสงค์ของโครงการวิจัย

- เพื่อศึกษาการนำ CNTs มาประยุกต์ใช้ประโยชน์ในงานแก๊สเซ็นเซอร์
- เพื่อศึกษาการเปลี่ยนแปลงสภาพด้านทานไฟฟ้าของ CNTs หลังดูดซับโมเลกุลแก๊สต่างๆ
- ศึกษาการเดรียลม้วสุดผสมของ CNTs และไอโอดีเมอร์
- ศึกษาอัตราส่วนผสมของ CNTs และไอโอดีเมอร์ ที่ทำให้ CNTs สามารถยึดเกาะกับไอโอดีเมอร์ได้ และส่งผลกระทบดีต่อสมบัติของ CNTs น้อยที่สุด
- ศึกษาความสามารถในการประยุกต์ใช้เป็นตัวเซ็นเซอร์ของวัสดุผสมของ CNTs กับไอโอดีเมอร์

1.3 ขอบเขตของโครงการวิจัย(เฟสแรก)

- เตรียมระบบเพื่อสังเคราะห์ CNTs ด้วยวิธี CVD และติดตั้งระบบท่อแก๊ส
- เตรียมฟิล์มโลหะกรานซิชัน เช่น นิกเกล หรือ เหล็ก บนแผ่นซิลิกอน โดยวิธี Sputtering
- ทดสอบอัตราส่วนแก๊ส $C_2H_2: NH_3$ ที่เหมาะสมในการสังเคราะห์ CNTs
- ศึกษา โครงสร้าง สัณฐานวิทยา และสมบัติความด้านทานไฟฟ้าของ CNTs ที่สังเคราะห์ได้
- หาเงื่อนไขที่เหมาะสมในการการเตรียม CNTs
- เตรียมอุปกรณ์และระบบเพื่อใช้ในการทดสอบการดูดซับแก๊สของ CNTs ใน Chamber ที่อุณหภูมิห้อง
- ทดสอบการดูดซับแก๊สของ CNTs ด้วยแก๊ส O_2, NH_3
- ทดสอบและวิเคราะห์ โครงสร้าง สัณฐานวิทยา และสมบัติความด้านทานไฟฟ้า ของ CNTs หลัง การดูดซับแก๊ส
- จัดทำรายงาน

1.4 ขอบเขตของโครงการวิจัย(เฟสสอง)

- เตรียม CNTs ด้วยกระบวนการ CVD
- สังเคราะห์ไอโอดีโนเมอร์ปรับปรุงพื้นผิวของ CNTs และเตรียมวัสดุผสมของ CNTs และไอโอดีโนเมอร์
- ศึกษาโครงสร้าง สัณฐานวิทยา และสมบัติทางไฟฟ้าของวัสดุผสม CNTs และไอโอดีโนเมอร์
- ศึกษาการดูดซับแก๊ส NH_3, O_2 ของ CNTs และวัสดุผสมของ CNTs และไอโอดีโนเมอร์ จากการเปลี่ยนแปลงค่าสภาพด้านทานไฟฟ้า

1.5 ประโยชน์ที่คาดว่าจะได้รับจากการผลิต

จากการวิจัย คาดว่าจะมีส่วนช่วยส่งเสริมให้มีการพัฒนาความรู้ของนักศึกษาและผลิตบัณฑิตทั้งในระดับปริญญาตรีและปริญญาโทที่สนใจงานทางด้านวัสดุ nano เทคโนโลยี และพัฒนาองค์ความรู้ของผู้สนใจในการที่จะนำ CNTs ไปใช้ประโยชน์ในอุตสาหกรรมมากยิ่งขึ้น นอกจากนี้จะสามารถวิจัยคาดว่าจะสามารถเผยแพร่ผลงานวิจัยดังกล่าวในการประชุมวิชาการระดับประเทศหรือต่างประเทศในวารสารระดับนานาชาติ ร่วมทั้งสร้างความร่วมมือกับหน่วยงานอื่นๆ ทั้งในภาครัฐและภาคอุตสาหกรรม เพื่อนำวัสดุผสม CNTs และไอโอดีเมอร์ไปผลิตเป็นอุปกรณ์ตรวจจับแก๊สและสิ่งปนเปื้อนในห้อง clean room เช่น อนุภาคของโลหะในอากาศที่มีขนาดเล็กกว่า 5 ไมครอน ในกลุ่มอุตสาหกรรมการผลิต bardic ไดรฟ์ ต่อไป

บทที่ 2

เอกสารและงานวิจัยที่เกี่ยวข้อง

ในเชิงอุตสาหกรรมการผลิตเต็นเซอร์แก๊สส่วนใหญ่มักใช้วัสดุเช米iconดักเตอร์ในรูปของออกไซด์ ซึ่งต่อมานักวิจัยได้พยายามศึกษาและวิจัยเพื่อหาวัสดุทดแทนในการลดขนาดของตัวเต็นเซอร์ และเพิ่มประสิทธิภาพการทำงานของเต็นเซอร์ carbbon ในรูปของ CNTs จัดเป็นตัวเลือกหนึ่งที่ดึงดูดความสนใจต่อ下去 เนื่องจากมีขนาดเส้นผ่าศูนย์กลางท่อเล็ก (~1-200 nm) และมีสมบัติทางกลศาสตร์และไฟฟ้าที่ดี และที่สำคัญมีพื้นที่ผิวมากถึง $1580 \text{ m}^2/\text{g}$ [1] ซึ่งสามารถดูดซับแก๊สได้ในปริมาณที่สูง ไวต่อการตอบสนอง ในรายละเอียดของการสังเคราะห์ CNTs สามารถสังเคราะห์ได้หลายวิธี ได้แก่ High pressure arcs [2], Laser ablation [3] และ CVD [4] ซึ่งการสังเคราะห์ด้วยกระบวนการ CVD เป็นเทคนิคที่สามารถควบคุมตำแหน่งการเกิด CNTs บนแผ่นรองรับ นอกจากนี้ขนาดความยาวของท่อจะมีลักษณะค่อนข้างยาวกว่าการสังเคราะห์ด้วยวิธีอื่นๆ การสังเคราะห์ CNTs สามารถสังเคราะห์ได้ทั้งในรูปแบบท่อผนังเดียวและแบบท่อผนังหลายชั้น

2.1 ท่อนาโนคาร์บอน (Carbon nanotubes)

CNTs ได้ถูกค้นพบด้วย Endo ค.ศ. 1976 เมื่อ Iijima ได้ทำการสังเคราะห์ไฟเบอร์คาร์บอนขึ้น และในช่วงเวลาต่อมาไม่มีการให้ความสนใจ จนกระทั่งในปี ค.ศ. 1991 เมื่อ Iijima ได้ทำการสังเคราะห์ CNTs ขึ้น ทำให้ต่อมา มีการศึกษาโครงสร้าง สมบัติและประโยชน์ของ CNTs อย่างกว้างข้างมากขึ้น โดยโครงสร้างของ CNTs เกิดจากการม้วนของชั้นกราฟีนเป็นท่อทรงกระบอก ซึ่งพันธะในการยึดเหนี่ยวของ CNTs อยู่ในรูปของ sp^2 โดยสมบัติของ CNTs ในที่นี้จะขึ้นกับโครงสร้าง เส้นผ่าศูนย์กลาง และความยาวของท่อ

2.2 โครงสร้างของ CNTs

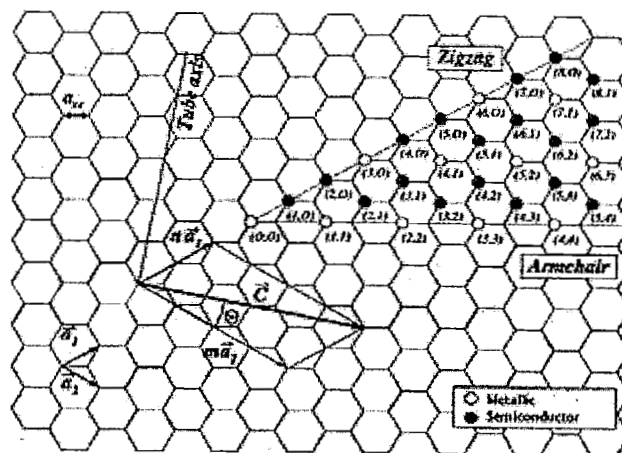
CNTs เป็นวัสดุที่ประกอบมาจากการห่อหุ้นของชาตุคาร์บอนและมีโครงสร้างอยู่ในระดับนาโน ซึ่ง CNTs สามารถแบ่งได้ออกเป็น 2 ชนิด คือ

1. CNTs แบบผนังชั้นเดียว (Single Walled Nanotubes, SWNTs) เป็น CNTs ที่ประกอบด้วยชั้นของคาร์บอนพิ耶ง 1 ชั้น ซึ่งสามารถแบ่งออกเป็น 3 ชนิด ได้แก่ Armchair (n,n), Zigzag ($n,0$) และ Chiral (n,m) โดยที่ค่าดัชนี (n,m) จะเป็นตัวบ่งบอกรูปแบบของการจัดตัวว่าจะเป็น CNTs แบบผนังชั้นเดียวในรูปแบบใด สามารถอธิบายได้ด้วยเวกเตอร์ \vec{C} ดังแสดงในรูปที่ 2.1

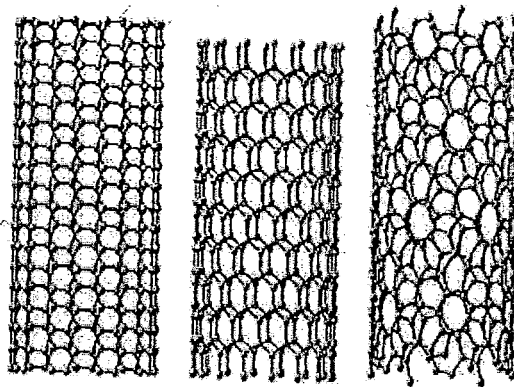
$$\vec{C} = n\vec{a}_1 + m\vec{a}_2$$

$$m - m_1 = 3q, q \neq 0, metallic$$

$$m - m_1 = 3q \pm 1, q \neq 0, semiconducting$$



รูปที่ 2.1 แสดงภาพของเวกเตอร์ \vec{C} เมื่อ a_1 และ a_2 เป็นเวกเตอร์ lattice ของกราฟฟิต [5]



รูปที่ 2.2 แสดงลักษณะของ CNTs แบบผังชั้นเดียวที่โครงสร้างต่าง ๆ [6]

Armchair (n,n), Zigzag ($n,0$), Chiral (n,m)

กรณี CNTs แบบผังชั้นเดียวดังในรูปที่ 2.2 เมื่อออยู่ในรูปแบบของ Armchair ค่าดัชนี n จะมีค่าเท่ากับ m หรือ ($n=m$) โดยขนาดของมุ่มมีค่าเท่ากับ 30° ในส่วนของรูปแบบ Zigzag ค่าดัชนี m มีค่าเท่ากับ 0 หรือ ($n,0$) โดยขนาดของมุ่มมีค่าเท่ากับ 0° และรูปแบบของ Chiral จะจัดเรียงตัวในรูปแบบ (n,m) โดยขนาดของมุ่มมีค่าเท่ากับ

$$\theta = \tan^{-1} \left[\frac{\sqrt{3}m}{(m + 2n)} \right]$$

2.CNTs แบบผังหลายชั้น (Multiple Walled Nanotubes, MWNTs) เป็น CNTs ที่ประกอบด้วยชั้นของการบอนซ้อนกันหลายชั้น

2.3 เทคนิคการสังเคราะห์ CNTs

การสังเคราะห์ CNTs นั้นสามารถทำได้หลายวิธี ซึ่งแต่ละวิธีก็มีข้อดีข้อเสียที่แตกต่างกัน โดยสามารถแบ่งวิธีการสังเคราะห์ได้ดังต่อไปนี้

1. วิธีอาร์คดิสชาร์จ (Arc Discharge)

การสังเคราะห์ CNTs ด้วยวิธีอาร์คดิสชาร์จนั้นสามารถทำได้โดยนำแท่งแกรไฟต์สองแท่งมาทำหน้าที่เป็นข้อไฟฟ้า โดยที่ระยะห่างระหว่างแท่งแกรไฟต์ทั้งสองมีค่าน้อยกว่า 1 มิลลิเมตร ภายใต้บรรยากาศแก๊สเนื้อย เช่น อีเลี่ยมหรืออาร์กอน จากนั้นใช้แหล่งจ่ายไฟฟ้ากระแสตรงที่ค่าระหว่าง 50-120 มิลลิแอมป์ โดยใช้ศักย์ที่ค่าประมาณ 30 โวลต์ ซึ่งจะทำให้เกิดความร้อนสูงที่ข้อไฟฟ้าทั้งสองเป็นผลทำให้เกิดสถานะพลาสม่า (>3000 องศาเซลเซียส) ส่งผลทำให้เกิด CNTs บริเวณตรงข้อไฟฟ้าที่ต่อ กับข้อลับ (Cathode) โดยการควบคุมขนาดหรือจำนวนชั้นของ CNTs สามารถทำโดยการควบคุม ความดัน อุณหภูมิ และการเติมผงโลหะตะลิสต์ปริมาณเล็กน้อยในแท่งแกรไฟต์ที่ต่อ กับข้อลับ (Anode)

2. วิธีระเหยด้วยแสงเลเซอร์ (Laser Ablation)

การสังเคราะห์ CNTs ด้วยวิธีนี้ทำโดยใช้แสงเลเซอร์ยิงไปยังที่เป้าของคาร์บอน ทำให้ กล้ายเป็นไออกซ์เจน โดยที่ไออกซ์เจนของคาร์บอนจะถูกทำให้เย็นด้วยทันทีภายใต้บรรยากาศของแก๊สเนื้อย เช่น อีเลี่ยม ส่งผลทำให้เกิด CNTs เกิดขึ้น ซึ่งวิธีระเหยด้วยแสงเลเซอร์ ทำให้ได้ CNTs ที่มีความเป็น ระเบียนสูงเมื่อเทียบกับวิธีอื่น แต่มีข้อเสียตรงที่ต้องใช้ค่าใช้จ่ายในการสังเคราะห์ที่สูงกว่าวิธีอื่นๆ

3. วิธีการตกสะสมไอกสารเคมี (Chemical Vapor Deposition, CVD)

วิธีการตกสะสมไอกสารเคมีเป็นวิธีที่ใช้สังเคราะห์ CNTs โดยให้ความร้อนกับแก๊ส ไฮโดรคาร์บอนซึ่งทำหน้าที่เป็นแหล่งกำเนิดคาร์บอน เช่น อะเซทีลีน (C_2H_2) เอทิลีน (C_2H_4) เป็นต้น ซึ่ง ความร้อนจะทำให้แก๊สไฮโดรคาร์บอนแตกตัวลงบนวัสดุรองรับที่มีด้าวเร่งปฏิกิริยา เช่น นิกเกิล (Ni) โคบอลต์ (Co) และ เหล็ก (Fe) ทำให้เกิด CNTs บนโลหะด้วยเร่งปฏิกิริยา ซึ่งวิธีการสังเคราะห์ CNTs ด้วยวิธีนี้สามารถควบคุมขนาด ความยาว ทิศทางการเกิด และตำแหน่งที่เกิดของ CNTs ได้อีกด้วย แต่ มีข้อเสียคือ CNTs ที่ได้จะมีความไม่ระเบียนของโครงสร้างที่สูง

2.4 อิทธิพลที่มีผลต่อการเติร์ยม CNTs

ได้มีการศึกษาอิทธิพลที่มีผลต่อการสังเคราะห์ CNTs ที่สภาวะต่างๆกัน พบว่ามีปัจจัยต่างๆ ที่ส่งผลต่อรูปร่างและโครงสร้างของ CNTs ซึ่งปัจจัยดังกล่าวได้แก่

1. อิทธิพลจากอุณหภูมิ

ได้มีการศึกษาอิทธิพลของอุณหภูมิที่มีผลต่อโครงสร้างและการเกิด CNTs ที่อุณหภูมิ 400 องศาเซลเซียส โดยใช้ระบบที่มีขนาดเส้นผ่าศูนย์กลาง 7 เซนติเมตร และมีค่าความยาวเท่ากับ 1.4 เมตร ถึง อุณหภูมิ > 3000 องศาเซลเซียส [7] ด้วยวิธีอาร์คิดิษาร์จและวิธีระHEYด้วยแสงเลเซอร์ [8] และเทคนิค การสังเคราะห์ CNTs แบบการเคลือบไออกเมนต์ได้ทำการศึกษาที่อุณหภูมิ 500 และ 800 องศาเซลเซียส พบว่าแนวโน้มที่ CNTs ที่ได้จะเป็น CNTs แบบผนังหันเดียว เมื่ออุณหภูมิที่ใช้ > 800 องศาเซลเซียส

Lee และ Park [9] ได้ทำการศึกษาผลของอุณหภูมิต่ออัตราการเกิด CNTs ในช่วงระหว่าง 800 ถึง 1100 องศาเซลเซียส พบว่าค่าเฉลี่ยของเส้นผ่าศูนย์กลางหันนอกมีค่าเพิ่มขึ้นจาก 20 เป็น 50 นาโนเมตร และอัตราการเกิดจาก 1.6 เป็น 28 ไมโครเมตรต่อนาที เมื่อเพิ่มอุณหภูมิขึ้น โดยใช้ระบบมีขนาดเส้นผ่าศูนย์กลาง 2.5 เซนติเมตร และความยาวมีค่าเท่ากับ 80 เซนติเมตร

Kumar และ Ando [10] ได้ใช้ระบบการสังเคราะห์ที่มีขนาดเส้นผ่าศูนย์กลาง 26 มิลลิเมตร และ ความยาว 1 เมตร พบว่าขนาดของ CNTs มีค่าเพิ่มขึ้นเมื่ออุณหภูมิมีค่าเพิ่มขึ้น จาก 8 นาโนเมตร ที่ อุณหภูมิ 700 องศาเซลเซียส เป็น 26 นาโนเมตร ที่อุณหภูมิ 900 องศาเซลเซียส ซึ่งผลที่ได้แสดงว่า ขนาดของ CNTs มีค่าเพิ่มขึ้นเมื่ออุณหภูมิมีค่าเพิ่มขึ้น

2. อิทธิพลจากความดัน

ผลกระทบจากความดันต่อการเกิด CNTs ยังเป็นที่ยังไม่ได้พิจารณามากนัก อย่างไรก็ตาม เทคนิคการสังเคราะห์ CNTs ด้วยวิธีอาร์คิดิษาร์จและวิธีระHEYด้วยแสงเลเซอร์ เป็นวิธีที่ใช้เพื่อช่วยลด ค่าความดัน ในขณะที่วิธี carbon monoxide (CO) disproportionation เป็นวิธีที่ทำให้ความดันเพิ่มขึ้น ตัวอย่างเช่น กระบวนการ HiPCO(high-pressure CO) ใช้ความดันที่ 3-5 เมกะปานascal และใช้อุณหภูมิ ระหว่าง 900 และ 1100 องศาเซลเซียส ขณะที่วิธีแบบอาร์คิดิษาร์จะใช้ความดันของอาร์กอนประมาณ

13 กิโลปascals [11] ในขณะที่กระบวนการ HiPCO มีการบันทึกว่าค่าของขนาดเส้นผ่านศูนย์กลางมีขนาดเพิ่มขึ้นจาก 0.4 เป็น 1.4 นาโนเมตร เมื่อลดความดันจาก 1 เป็น 0.1 เมกะปascals [12]

Lin และคณะ พบว่าการใช้วิธี plasma-enhance เมื่อความดันสูงขึ้น CNTs ที่สังเคราะห์ได้จะมีขนาดเส้นผ่านศูนย์กลางที่เล็กลง แต่มีอัตราการเกิดและคุณภาพที่สูงขึ้น โดยที่อัตราการเกิดอยู่ที่ 1-3 ไมโครเมตรต่อนาที และขนาดเส้นผ่านศูนย์กลางของ CNTs มีค่าน้อยกว่า 30 นาโนเมตร ในขณะที่ระบบที่มีความดันต่ำพบว่าอัตราการเกิดมีค่าเท่ากับ 0.1 ไมโครเมตรต่อนาที และขนาดเส้นผ่านศูนย์กลางมีค่าเท่ากับ 60-80 นาโนเมตร [13]

3. อิทธิพลจากแหล่งกำเนิดcarbon

แหล่งกำเนิดcarbonที่ถูกใช้สังเคราะห์ CNTs ด้วยวิธีอาร์ค迪สชาร์คและวิธีระเหยด้วยแสงเลเซอร์ ได้แก่ คาร์บอนแบล็ค [14] และฟูลเลอร์น [15] และสำหรับวิธีการเคลือบไออกไซด์ทางเคมี ได้แก่ มีเทน [16] เอทีลีน [17] อะเซทิลีน [18] บีนซีน [19] เมทานอล [20] เอทานอล [21] และ carbon monoxide [22]

มีการศึกษาผลของการผสมแหล่งกำเนิดcarbonมีผลต่อการสังเคราะห์ CNTs พบว่าทำให้มีปริมาณ CNTs เพิ่มขึ้น ในกระบวนการ HiPCO พบว่าปริมาณของ CNTs เพิ่มขึ้นถึง 25% โดยการใส่มีเทน (0.7%) ในคาร์บอนมอนอกไซด์ อย่างไรก็ตามภาวะที่ดีที่สุดที่ทำให้ได้ปริมาณ CNTs เพิ่มขึ้น นอกจากการใช้แหล่งกำเนิดcarbonแล้วยังมีปัจจัยอื่นๆ เช่น อุณหภูมิ ความดัน ชนิดของโลหะตะลิสต์ ฯลฯ [23]

4. อิทธิพลจากโลหะตะลิสต์

สำหรับการสังเคราะห์ CNTs นั้น ถึงแม้ว่า CNTs แบบพนังหลาชันที่ถูกสังเคราะห์ด้วยวิธีอาร์ค迪สชาร์คจะไม่ต้องใช้โลหะตะลิสต์ในการสังเคราะห์ขึ้นมา แต่สำหรับทุกๆ การสังเคราะห์ CNTs แบบพนังชั้นเดียวนั้นจำเป็นจะต้องใช้โลหะตะลิสต์ในทุกกระบวนการการสังเคราะห์ CNTs ซึ่งโลหะตะลิสต์ที่นิยมใช้ ได้แก่ เหล็ก [24], นิกเกิล [25], โคบอลต์ [26] และการผสมกันของโลหะดังกล่าว [27], [28]

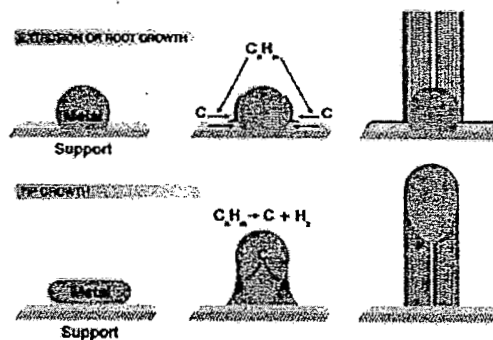
Kathyayini และคณะ ได้ทำการศึกษาโดยใช้แก๊สอะเซทิลีนเป็นแหล่งกำเนิดcarbon และทำที่สภาวะเหมือนกัน พบว่าโคบอลต์เป็นโลหะตะลิสต์ที่ดีกว่าเหล็ก [29] นอกจากนี้ยังได้ทำการศึกษา

กรณีที่ใช้แผ่นรองรับต่างกัน เช่น Al_2O_3 [30], MgO [31] หรือ SiO_2 [32] ซึ่งถูกใช้เป็นแผ่นรองรับโลหะจะมีผลต่อการสังเคราะห์ CNTs อีกด้วย

นอกจากนี้ได้มีการศึกษาความสัมพันธ์ระหว่างโลหะและจะมีผลต่อการเกิด CNTs [33] โดยสามารถแบ่งออกเป็น 2 รูปแบบ ดังแสดงในรูปที่ 2.3 ได้แก่

1. การเกิดจากฐาน (base-growth) เกิดในกรณีที่อันตรกิริยาระหว่างโลหะและจะมีผลต่อการเกิด CNTs มาก เมื่ออะตอมของคาร์บอนตกลงมาที่โลหะจะเกิดการ吸附แล้วลับเข้าไปในโลหะและจะมีผลต่อการเกิด CNTs

2. การเกิดจากปลาย (tip-growth) เกิดในกรณีที่อันตรกิริยาระหว่างโลหะและจะมีผลต่อการเกิด CNTs น้อย เมื่ออะตอมของคาร์บอนตกลงมาที่โลหะจะทำให้เกิดการดันโลหะและจะมีผลต่อการเกิด CNTs



รูปที่ 2.3 แสดงภาพการเกิด CNTs แบบ base-growth และ tip-growth [34]

5. อิทธิพลจากขนาดของอนุภาค

ขนาดของอนุภาคจะมีผลต่อการสังเคราะห์ CNTs นั้นยังไม่เป็นที่เข้าใจมากนัก ซึ่งเป็นที่เชื่อกันว่าขนาดของอนุภาคจะส่งผลกระทบต่อ CNTs

Yu และคณะ [35] ได้ทำการศึกษาอัตราการเกิดของ CNTs ที่ขึ้นกับขนาดของอนุภาคตะลิสต์ โดยใช้ carbon monoxide disproportionation สังเคราะห์บน Fe/SiO_2 ที่ 650 องศาเซลเซียส พบว่าภาวะที่ทำให้ได้ผลตีที่สุด ขนาดของตะลิสต์จะอยู่ในช่วง 13-15 นาโนเมตร

Kukovitsky [36] ได้รายงานเกี่ยวกับความสัมพันธ์ของอุณหภูมิและขนาดของตะลิสต์ของนิกเกิลต่อขนาดของ CNTs ที่อุณหภูมิ 700 องศาเซลเซียส พบว่าขนาดเส้นผ่านศูนย์กลางมีค่าเพิ่มขึ้นเมื่อขนาดของอนุภาคตะลิสต์มีค่าเพิ่มขึ้น และที่อุณหภูมิ 800 องศาเซลเซียส พบว่ามีลักษณะเดียวกัน

6. อิทธิพลอื่นๆ

ได้มีการศึกษาเกี่ยวกับอิทธิพลของแก๊สเลือยเกี่ยวกับการสังเคราะห์ CNTs พบว่าการสังเคราะห์ที่สภาวะเหมือนกันด้วยวิธีอาร์คิดิษาร์จ ค่าความดันระหว่าง 10 ถึง 90 kPa พบว่าการตกลงสมของคาร์บอนในบรรยากาศของอาร์กอนมีค่าต่ำกว่าบรรยากาศของไฮเดรียม ที่ความดันของแก๊สน้อยกว่า 30 kPa แต่ในทางตรงกันข้ามเมื่อค่าความดันมากกว่า 30 kPa ภายใต้บรรยากาศของอาร์กอน CNTs ที่สังเคราะห์ได้จะมีผลที่ดีกว่าภายใต้บรรยากาศของไฮเดรียม และมีความบริสุทธิ์ที่สูงกว่า [37]

ผลจากการศึกษาอิทธิพลของไฮโดรเจนที่มีผลต่อการสร้างตัวของ CNTs ในแบบต่างๆ กัน โดยการผสมไฮโดรเจนกับ C_2H_2 , CO และ $\text{Fe}(\text{CO})_5$ ด้วยวิธีการเคลือบไฮโรเฟยทางเคมีด้วยโลหะตะลิสต์ที่ช่วงอุณหภูมิ 700 และ 1000 องศาเซลเซียส พบว่าท่อนาโนคาร์แบบผนังชั้นเดียวที่สังเคราะห์ผลิตได้มากขึ้น เมื่อเพิ่มปริมาณความเข้มข้นของไฮโดรเจน 25% [38]

อิทธิพลของไนโตรเจนที่มีอิทธิพลต่อการเกิด CNTs ที่สังเคราะห์ด้วยวิธีการเคลือบไฮโรเฟยทางเคมี โดยใช้โลหะนิกเกิลเป็นเร่งปฏิกิริยา ที่ช่วงอุณหภูมิ 600 และ 950 องศาเซลเซียส ใช้ไนโตรเจน แอมโมเนียและอะเซทีลีน พบว่า CNTs ที่ได้มีลักษณะเป็นเรียงตัวเส้นตรงและยังสามารถซ่อนป้องกันการเกิดคาร์บอนอสัมฐาน [39]

2.5 ประโยชน์ของ CNTs สำหรับตัวตรวจจับแก๊ส

จากผลของการศึกษาสมบัติของ CNTs [40,41] ซึ่งสามารถนำไปใช้ประโยชน์ในหลายๆ ด้านอันได้แก่ เชลเซือเพลิงไออกอีโอดรเจน ด้วยเปล่งแสง หรือเป็นเซ็นเซอร์ที่ใช้ในการตรวจจับแก๊สต่างๆ ในสิ่งแวดล้อม ซึ่งการทดลองที่ผ่านมาเกี่ยวกับการผลิตเซ็นเซอร์ของแก๊สจาก CNTs พบร่วงจากถ่ายเทอิเลคทรอนิกส์ใน CNTs เมื่อมีการดูดซับแก๊ส NO_2 [40,41], H_2 [42], O_2 [43], CO_2 [44] และ NH_3 [45] นำผลก่อให้เกิดการเปลี่ยนแปลงสมบัติทางไฟฟ้า เช่น ค่าการนำไฟฟ้า หรือ ความต้านทานของ CNTs นอกจากนี้ยังมีการศึกษาการเคลือบ Polyethyteneimine(PEI) บน CNTs เพื่อตรวจจับแก๊ส CO_2 [44] หรือการผสม CNTs กับ Poly(methylmethacrylate) (PMMA) เพื่อตรวจจับแก๊ส NH_3 [45] ซึ่งไอโโอนิเมอร์เป็นพอลิเมอร์ชนิดหนึ่งที่มีสมบัติพิเศษชนิดที่มีหมุนกรดติดกับโครงสร้างเหล็ก ซึ่ง H^+ สามารถแลกเปลี่ยนประจุกับไอโอนบวกของโลหะให้สมบัติการนำไฟฟ้าที่ต่ำกว่าพอลิเมอร์เชิงพาณิชย์ ทั่วไป การนำ CNTs มาใช้ประโยชน์ร่วมกับไอโโอนิเมอร์น่าจะสามารถเพิ่มประสิทธิภาพของอุปกรณ์เซ็นเซอร์ในการตรวจจับแก๊สได้ เพื่อพัฒนาใช้ประโยชน์ในเชิงพาณิชย์ต่อไป

บทที่ 3

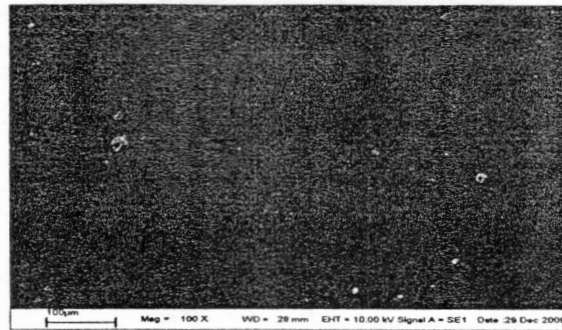
วิธีดำเนินงานวิจัย

3.1 ขั้นตอนการเตรียมพิล์มนิกเกิล

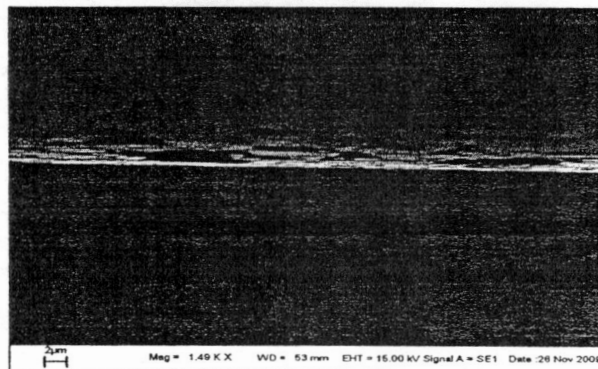
ในการสังเคราะห์ CNTs ด้วยวิธีการเคลือบไออกเยทางเคมี ซึ่งในงานวิจัยนี้โลหะนิกเกิลได้ถูกนำมาใช้ในกระบวนการสังเคราะห์ CNTs เพื่อช่วยเป็นตัวเร่งปฏิกิริยาในการสังเคราะห์ CNTs แบบผนังหอยชัก โดยขั้นตอนของการเตรียมชั้นพิล์มนิกเกิล เริ่มจากการนำแผ่นชิลิค่อนชนิดพี ระนาบ (100) ขนาด 20×20 มิลลิเมตร ไปทำความสะอาดด้วยอะซีโตน (acetone) โดยเครื่องสันนูลตราโซนิก (ultrasonic) และนำป่าประจากไอออน (deionized water) ตามลำดับ จากนั้นให้ความร้อนภายใต้บรรยากาศออกซิเจนเพื่อสร้างชั้นชิลิค่อนออกไซต์บนแผ่นชิลิค่อน นำตัวอย่างที่เตรียมได้ไปเคลือบด้วยนิกเกิลโดยวิธีดีซี-สปั๊ดเตอริง (dc-sputtering) ที่ความหนาของชั้นพิล์มนิกเกิลประมาณ 20 นาโนเมตร ภายใต้เงื่อนไขดังตารางที่ 3.1 ซึ่งผลของพิล์มนิกเกิลที่เตรียมได้มีรูปแบบเดียวกับรูปที่ 3.1 อิเล็กตรอนแบบส่องกราดเพื่อสังเกตลักษณะพื้นผิวของพิล์มดังกล่าว มีลักษณะดังรูปที่ 3.1

ตารางที่ 3.1 แสดงตัวแปรต่างๆ ที่ใช้ในการเตรียมพิล์มนิกเกิล ด้วยวิธีดีซี-สปั๊ดเตอริง

ความดันก่อนสปั๊ดเตอริง (มิลลิบาร์)	5.00×10^{-5}
ความดันขณะสปั๊ดเตอริง (มิลลิบาร์)	5.00×10^{-5}
อัตราการไหลของแก๊ส Ar (sccm)	55
กระแสไฟฟ้าที่ใช้ (มิลลิแอมป์)	300
ความด่างศักย์ที่ใช้ (โวลต์)	300
เวลาที่ใช้ในการเคลือบ (วินาที)	55



(ก)



(ข)

รูปที่ 3.1 แสดงลักษณะของชั้นฟิล์มนิกเกิล

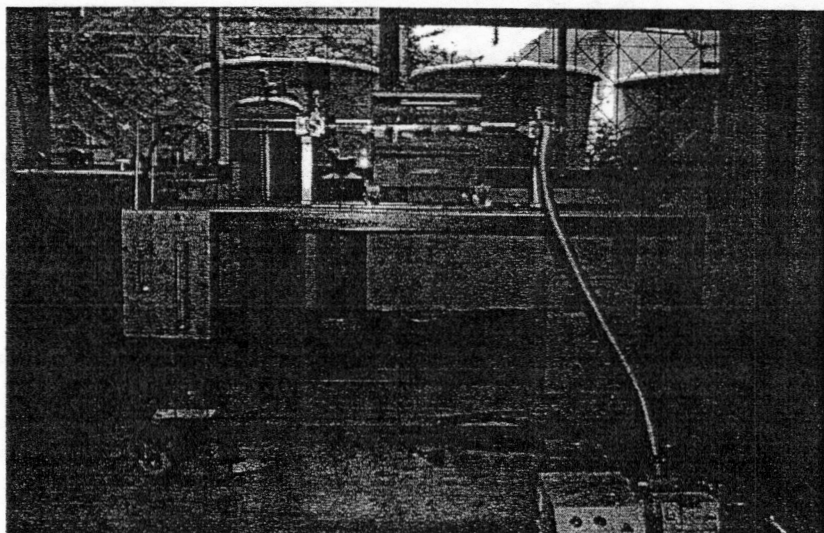
ที่เคลือบบนแผ่นซิลิกอนด้วยวิธีดีซี-สปัตเตอริ่ง

(ก) ภาพพื้นผิวทางด้านบนของฟิล์มนิกเกิล (ข) ภาพตัดขวางของฟิล์มนิกเกิล

3.2 ระบบที่ใช้ในการเตรียม CNTs

ในส่วนของการติดตั้งระบบ CVD ซึ่งเป็นระบบที่ใช้ในการสังเคราะห์ CNTs แสดงดังแผนภาพในรูปที่ 3.2 ประกอบด้วยอุปกรณ์ดังๆ ดังนี้

1. ท่อ Quartz
2. Rotary pump
3. ระบบให้ความร้อน
4. เกจวัดความดันของระบบ
5. แก๊สอาร์กอน
6. แก๊สอะเซทีลีน
7. แก๊สแอมโมเนีย
8. อุปกรณ์ดักแก๊สเสีย
9. อุปกรณ์ควบคุมการไหลของแก๊สต่างๆ
10. อุปกรณ์จ่ายกระแสไฟฟ้าและวัดค่าความต่างศักย์



รูปที่ 3.2 แสดงระบบการสังเคราะห์ CNTs แบบ CVD

3.3 ขั้นตอนการสังเคราะห์ CNTs

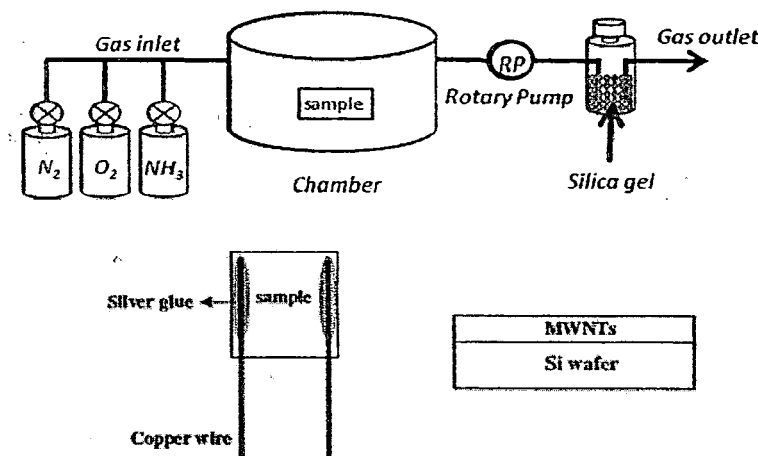
งานวิจัยนี้ได้เตรียม CNTs แบบผนังหอยชันด้วยวิธี CVD นำแผ่นซิลิกอนชนิดพี ระนาบ(100) ขนาด 20×20 มิลลิเมตร ไปทำการสะ灶ด้วยอะซีตอ� (Acetone) โดยเครื่องสั่น Ultrasonic และน้ำปราศจากไอออน (Deionized water) ตามลำดับ จากนั้นให้ความร้อนภายใต้บรรยายกาศออกซิเจนเพื่อสร้างชั้นซิลิกอนไดออกไซด์บนแผ่นซิลิกอน นำตัวอย่างที่เตรียมได้ไปเคลือบด้วยนิกเกิลโดยวิธี DC Sputtering โดยความหนาของชั้นฟิล์มนิกเกิลมีค่าประมาณ 20 นาโนเมตร นำตัวอย่างใส่เข้าไปภาชนะระบบการสังเคราะห์ CNTs แบบ CVD แก๊สอาร์กอนถูกปล่อยเข้าสู่ระบบด้วยอัตราการไหล 500 sccm (Standard Cubic Centimeters per Minute; sccm) เพื่อป้องกันการเกิดออกไซด์ของตัวอย่างเมื่อเพิ่มอุณหภูมิ ให้ความร้อนกับระบบจนถึงอุณหภูมิที่ต้องการสังเคราะห์ได้แก่ 700 และ 750 องศาเซลเซียส จากนั้นปล่อยแก๊สแอมโมเนียด้วยอัตราการไหล 50 sccm เป็นเวลา 20 นาที เพื่อทำหน้าที่กำจัดออกไซด์บนฟิล์มนิกเกิล และเปลี่ยนฟิล์มนิกเกิลเป็นอนุภาคนิกเกิล ต่อจากนั้น CNTs จะถูกสังเคราะห์โดยปล่อยแก๊สอะเซทิลีนด้วยอัตราการไหล 30 และ 40 sccm เป็นเวลา 10 นาที และ 20 นาที ตามลำดับ ตามด้วยการลดอุณหภูมิของระบบลงมาที่อุณหภูมิห้องและปล่อยแก๊สอาร์กอนด้วยอัตราการไหล 500 sccm เพื่อป้องกันการเกิดออกไซด์ของตัวอย่างขณะอุณหภูมิลดลง

3.4 เทคนิคและกระบวนการในการวิเคราะห์ CNTs

CNTs จากกระบวนการสังเคราะห์ด้วยเทคนิค CVD ได้ทำการวิเคราะห์ทางโครงสร้างสัณฐานด้วยกล้องจุลทรรศน์อิเลคตรอนแบบส่องกราด (Scanning electron microscopy) และกล้องอิเล็กตรอนแบบส่องผ่าน (Transmission electron microscopy) รวมทั้งศึกษาการเกิดโครงสร้างของชั้นแกรฟีนของ CNTs ด้วยเทคนิคของรามานสเปกโกรสโกปี

3.5 ขั้นตอนการเตรียม CNTs สำหรับทดสอบแก๊สเช็นเชอร์

รูปแบบการเตรียมแก๊สเช็นเชอร์ทำโดยการนำลวดทองแดงขนาดเส้นผ่าศูนย์กลาง 3 มิลลิเมตร ยึดกับ CNTs ที่ถูกเตรียมบนแผ่นซิลิกอนด้วย Silver glue จากนั้นทำการติดตั้งระบบเพื่อนำตัวอย่างที่เตรียมได้ไปทดสอบเป็นแก๊สเช็นเชอร์ โดยทำการติดตั้งระบบดังรูปที่ 3.3 โดยเชื่อมต่อเข้ากับเครื่อง Keithley model 2400



รูปที่ 3.3 แสดงระบบการทดสอบ CNTs สำหรับแก๊สเซ็นเซอร์

CNTs จะถูกนำไปตรวจวัดแก๊สแอมโมเนียมที่ความเข้มข้นต่างๆ โดยศึกษาสมบัติการเปลี่ยนแปลงความต้านทานไฟฟ้าของ CNTs เริ่มต้นการปล่อยแก๊สในโตรเจนด้วยอัตราการไหล 2500 sccm เป็นเวลา 600 วินาที เพื่อทำการปรับระบบก่อนการทดสอบการตรวจจับแก๊ส จากนั้นทำการปล่อยแก๊สแอมโมเนียมเป็นเวลา 180 วินาที ในแต่ละความเข้มข้น และทำการปล่อยแก๊สในโตรเจนด้วยอัตราการไหล 2500 sccm เป็นเวลา 600 วินาที หลังปล่อยแก๊สแอมโมเนียมทุกครั้งเพื่อกำจัดแก๊สแอมโมเนียมในระบบก่อนทำการปล่อยแอมโมเนียที่ความเข้มข้นตัดไป โดยจะทำการตรวจวัดที่อุณหภูมิต่างๆ

จากนั้นทำการทดสอบตรวจวัดแก๊สออกซิเจนกับ CNTs ที่อุณหภูมิต่างๆ เริ่มต้นด้วยการปล่อยด้วยอัตราการไหลแก๊สในโตรเจนคงที่ที่ 2500 sccm เป็นเวลา 600 วินาที เพื่อทำการปรับระบบก่อนการทดสอบการตรวจจับแก๊ส จากนั้นทำการปล่อยแก๊สออกซิเจนเป็นเวลา 1500 วินาที โดยทำการทดสอบที่อุณหภูมิต่างๆ

การศึกษาเพื่อหาความสัมพันธ์ของประสิทธิภาพของการตรวจจับแก๊ส พิจารณาได้จากค่า

$$\text{Sensitivity (S)} \text{ เมื่อความสัมพันธ์ของ } S = \frac{|R - R_0|}{R_0} \times 100 \text{ กำหนดให้ } R \text{ คือ ความต้านทานไฟฟ้าของ }$$

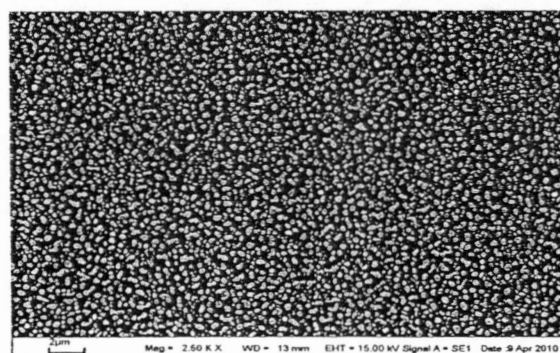
CNTs ขณะปล่อยแก๊สที่ทำการตรวจนัด และ R_0 คือ ความต้านทานไฟฟ้าของ CNTs เริ่มต้นภายใต้บรรยายกาศในโตรเจนก่อนการปล่อยแก๊สที่ทำการตรวจนัด

บทที่ 4

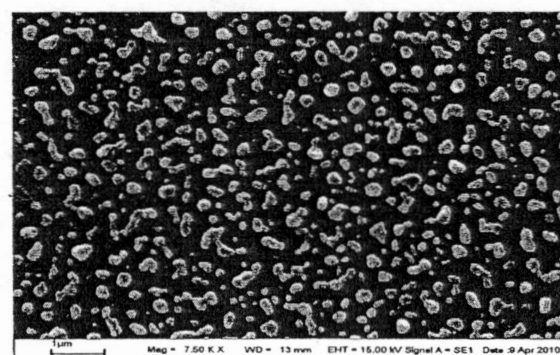
ผลการดำเนินงาน

4.1 ผลการวิเคราะห์รูปร่างของอนุภาคนิกเกิลในระดับนาโน

ผลของการเตรียมฟิล์มบางนิกเกิลให้เป็นอนุภาคนิกเกิลสำหรับใช้ในการสังเคราะห์ CNTs โดยใช้แก๊สแอมโมเนียที่อัตราการไหล 50 sccm เป็นเวลา 20 นาที ที่อุณหภูมิช่วง 700-800 องศาเซลเซียส เพื่อเป็นตัวทำปฏิกิริยา กับฟิล์มบางนิกเกิลให้เปลี่ยนเป็นอนุภาคนิกเกิลในระดับนาโน ผลจากการวิเคราะห์ด้วยกล้องจุลทรรศน์อิเล็กตรอนแบบส่องการดู มีผลดังนี้



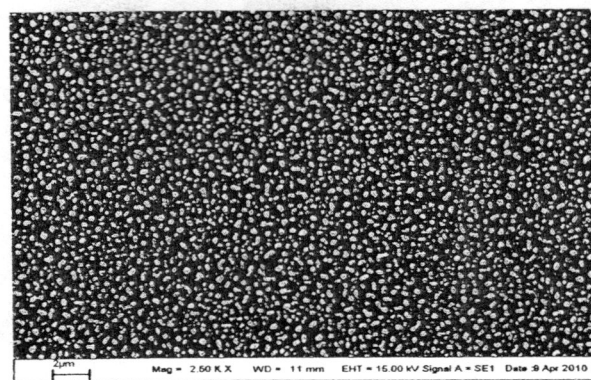
(ก)



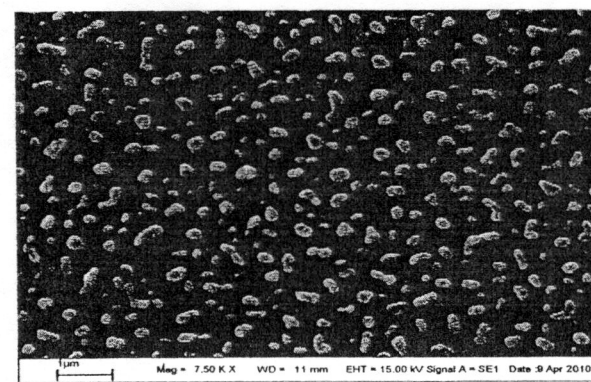
(ข)

รูปที่ 4.1 ภาพถ่าย SEM แสดงลักษณะพื้นผิวด้านบนของอนุภาคนิกเกิลที่อุณหภูมิ 700 องศาเซลเซียส

(ก) กำลังขยาย 2,500 เท่า (ข) กำลังขยาย 7,500 เท่า



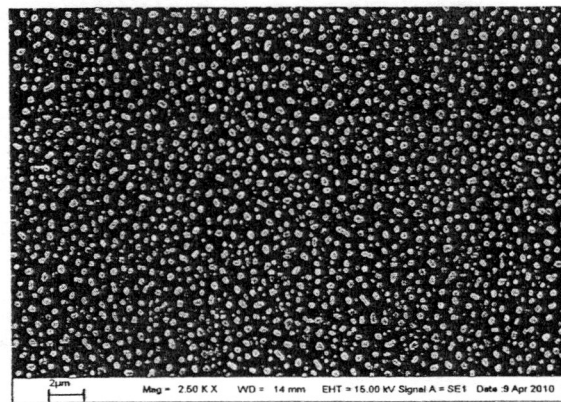
(n)



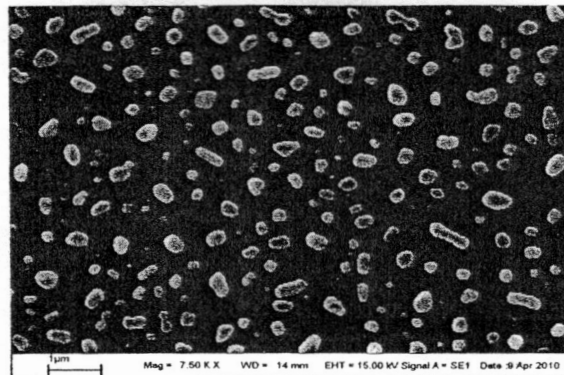
(x)

รูปที่ 4.2 ภาพถ่าย SEM แสดงลักษณะพื้นผิวด้านบนของอนุภาคนิกเกิลที่อุณหภูมิ 750 องศาเซลเซียส

(ก) กำลังขยาย 2,500 เท่า (ข) กำลังขยาย 7,500 เท่า



(n)



(ข)

รูปที่ 4.3 ภาพถ่าย SEM แสดงลักษณะพื้นผิวด้านบนของอนุภาคนิกเกิลที่อุณหภูมิ 800 องศาเซลเซียส

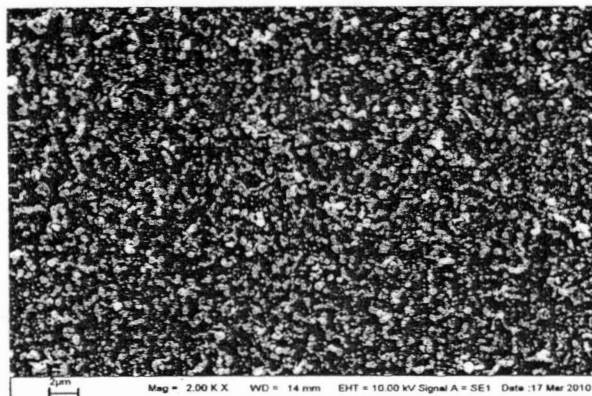
(ก) กำลังขยาย 2,500 เท่า (ข) กำลังขยาย 7,500 เท่า

แสดงภาพถ่าย SEM ของการเกิดอนุภาคนิกเกิลบนแผ่นซิลิโคนที่อุณหภูมิ 700, 750 และ 800 องศาเซลเซียส พนวจว่ารูปร่างส่วนใหญ่ของอนุภาคนิกเกิลมีลักษณะเป็นเส้นและก้อนของอนุภาคที่ยังเชื่อมติดกันและอนุภาคบางส่วนมีลักษณะเป็นเม็ดกลม เมื่ออุณหภูมิมีค่าสูงขึ้นพบว่ารูปร่างของอนุภาคส่วนใหญ่มีลักษณะเป็นเส้นและก้อนที่แยกออกจากกันมากขึ้น มีลักษณะเป็นเม็ดกลมและใหญ่ขึ้น โดยอนุภาคนิกเกิลที่อุณหภูมิ 700, 750 และ 800 องศาเซลเซียส มีค่าเฉลี่ยความหนาแน่นของอนุภาคในหนึ่งหน่วยตารางเซนติเมตรเท่ากับ 10×10^8 , 7×10^8 และ 5×10^8 ตามลำดับ

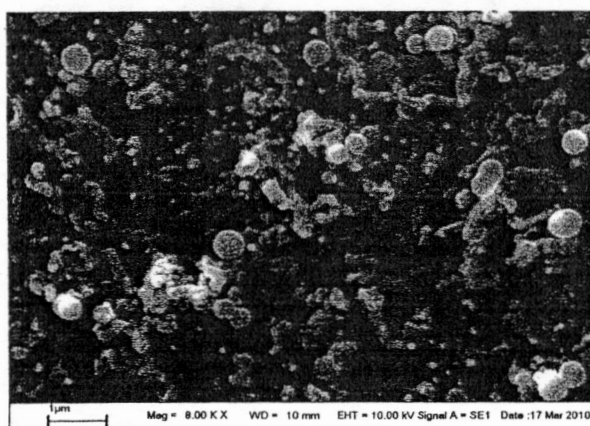
ผลจากการวิเคราะห์ภาพถ่ายในรูปที่ 4.1-4.3 สามารถอธิบายลักษณะการเกิดอนุภาคนิกเกิลที่สัมพันธ์กับอุณหภูมิได้ว่าการกัดเซาะของโมเลกุลแอมโมเนียมจะเกิดปฏิกิริยาได้ดี เมื่อได้รับความร้อนที่สูงขึ้น โดยอนุภาคจะเคลื่อนที่เข้ารวมกันเป็นกลุ่มก้อนที่ใหญ่ขึ้นและมีลักษณะกลมมากขึ้น ส่งผลให้ค่าความหนาแน่นด้อยหน่วยพื้นที่ของอนุภาคมีค่าลดลง

4.2 ผลการวิเคราะห์รูปร่างและโครงสร้างของ CNTs ที่สังเคราะห์ด้วยวิธี CVD

จากการสังเคราะห์ MWNTs ด้วยกระบวนการ CVD ภายได้เงื่อนไขอัตราการไหลของแก๊สอะเซทิลีนที่อัตราการไหล 30 และ 40 sccm ที่อุณหภูมิของการสังเคราะห์ 700 และ 750 องศาเซลเซียส ตามลำดับ และนำผลการสังเคราะห์ MWNTs มาวิเคราะห์โครงสร้างสัณฐานของชั้นกราฟีน โดยเลือกอุณหภูมิการสังเคราะห์ที่ 700 และ 750 องศาเซลเซียส ผลการวิเคราะห์ด้วยกล้องจุลทรรศน์อิเล็กตรอนแบบส่องผ่านของ CNTs ที่สังเคราะห์ที่อุณหภูมิ 700 องศาเซลเซียส มีผลดังนี้



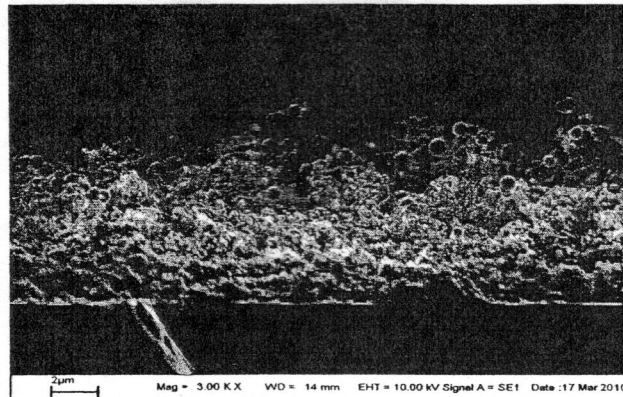
(η)



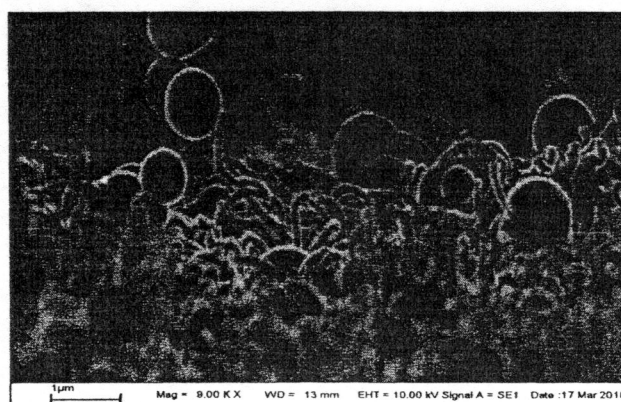
(η)

รูปที่ 4.4 ภาพถ่าย SEM แสดงลักษณะพื้นผิวด้านบนของ CNTs ที่อุณหภูมิ 700 องศาเซลเซียส

(η) กำลังขยาย 2,000 เท่า (η) กำลังขยาย 8,000 เท่า



(ก)



(ข)

รูปที่ 4.5 ภาพถ่าย SEM แสดงลักษณะภาพตัดขวางของ CNTs ที่อุณหภูมิ 700 องศาเซลเซียส

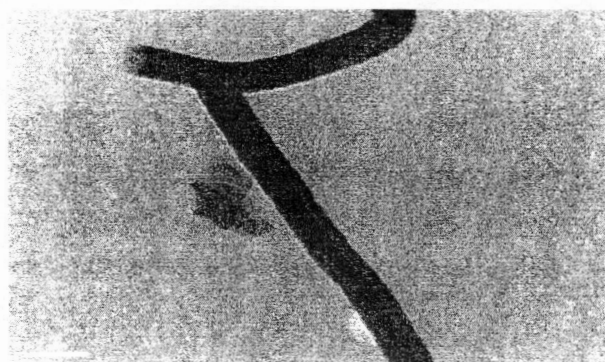
(ก) กำลังขยาย 3,000 เท่า (ข) กำลังขยาย 9,000 เท่า

ผลของการวิเคราะห์ด้วยกล้องจุลทรรศน์อิเล็กตรอนแบบส่องกราด CNTs ที่สังเคราะห์ได้ที่อุณหภูมิ 700°C ส่วนใหญ่พบว่ามีลักษณะไม่เป็นเส้นตรงและเป็นเกลียวพันกันเป็นกลุ่มก้อนดังรูปที่ 4.4 ก-ข และที่ปลายของ CNTs บางส่วนมีอนุภาครูปแบบตัวกันในรูปแบบอะมอฟส์ เกิดจากการที่โมเลกุลของคาร์บอนที่มีสถานะอยู่ในรูปของเหลวและมีอะตอมของคาร์บอนบางส่วนเกิดการเย็นตัวอย่างรวดเร็ว ทำให้อะตอมของคาร์บอนเหล่านี้เกิดการจับตัวกันขึ้นบริเวณพื้นผิว เกิดเป็นก้อนกลมเขื่อมติดกับ CNTs ซึ่งขนาดของก้อนกลมของคาร์บอนจะมีขนาดเส้นผ่าศูนย์กลางในระดับ $0.5\text{-}1.0 \mu\text{m}$ ผลของการเกิดอะมอฟส์ของคาร์บอนดังกล่าว ทำให้คุณภาพของการสังเคราะห์ CNTs ลดลง เนื่องจากอะตอมของคาร์บอนบางส่วนเกิดรวมตัวกันในรูปของอะมอฟส์ ซึ่งผลดังกล่าวอาจเกิดจากกระบวนการสังเคราะห์มีปริมาณของอะตอมของคาร์บอนมากเกินไป ทำให้อะตอมของคาร์บอนที่เหลือ ไม่สามารถรวมตัวกันอยู่

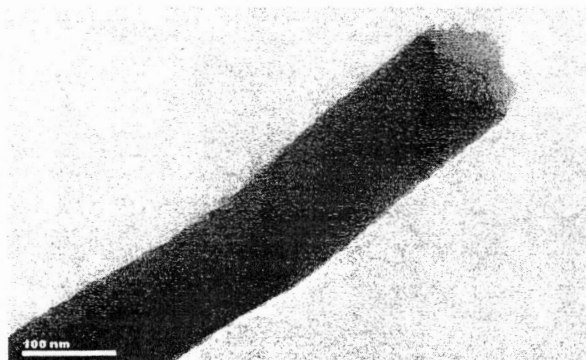
281138

621.3415
V441N
n.2

ในรูปของ CNTs ซึ่งจำเป็นต้องศึกษาหาเงื่อนไขของการให้ผลของแก๊ส acetylene ที่เหมาะสม รวมทั้งการควบคุมอุณหภูมิจนกระทั้งระบบเกิดกระบวนการสังเคราะห์ CNTs ที่สมบูรณ์ นอกจากนี้การเกิดของมอฟ์สคาร์บอนอาจมาจากการที่ ขณะทำการทดลองผู้ทดลองลดอุณหภูมิระบบลงในอัตราที่เร็วจนทำให้การบอนบางส่วนที่เหลือในระบบยังไม่เกิดการรวมตัวเป็น CNTs เกิดการเย็นตัวจับตัวกันเป็นก้อนโดยจะดอมควันบอนที่ผิวจะเย็นตัวก่อนบริเวณอื่น ดังแสดงในรูปที่ 4.5x



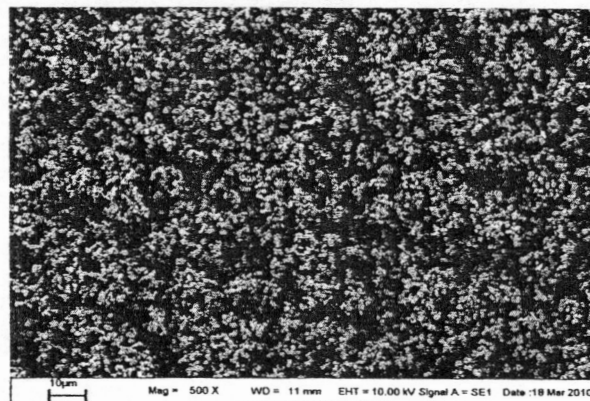
(g)



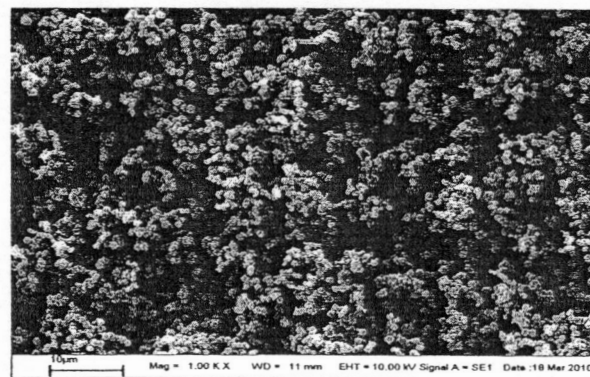
(h)

รูปที่ 4.6 ภาพถ่าย TEM แสดงลักษณะของ CNTs ที่อุณหภูมิ 700 องศาเซลเซียส

จากรูปที่ 4.6 ก-ข แสดงผลของการวิเคราะห์ด้วยกล้องจุลทรรศน์อิเล็กตรอนแบบส่องผ่านขนาดของเส้นผ่านศูนย์กลางของ CNTs ที่สังเคราะห์ได้นั้น อยู่ในช่วงประมาณ 80 nm ผนังโดยรอบที่หุ้ม CNTs จะประกอบด้วยชั้นของอะมอฟ์สคาร์บอนที่ค่อนข้างหนา ทำให้ไม่สามารถมองเห็นผนังของ CNTs ได้ ซึ่งจากรูปที่ 4.6ก และเห็นได้ชัดเจนว่าเกิดແแบบสีดำบน CNTs กระจายตัวเป็นແเกบ牙瓦 ในรูปที่ 4.6x ผนังมีลักษณะค่อนข้างหนา ซึ่งเป็นชั้นของอะมอฟ์สคาร์บอนที่เกาะติดอยู่เป็นจำนวนมากมาก



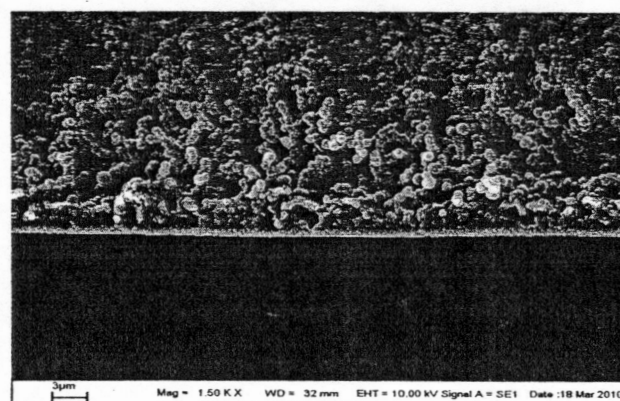
(n)



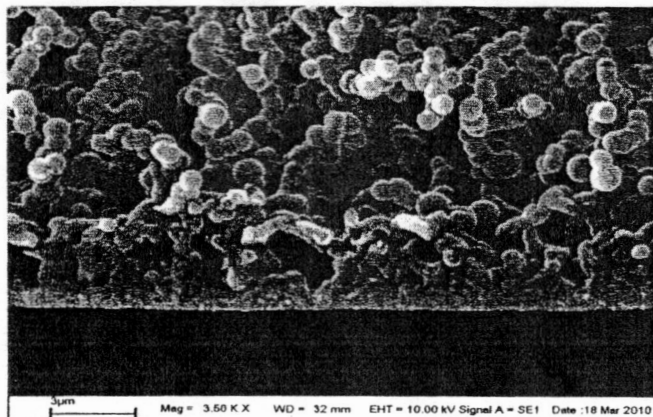
(x)

รูปที่ 4.7 ภาพถ่าย SEM แสดงลักษณะพื้นผิวด้านบนของ CNTs ที่อุณหภูมิ 750องศาเซลเซียส

(ก) กำลังขยาย 2,000 เท่า (ข) กำลังขยาย 8,000 เท่า



(ก)



(ข)

รูปที่ 4.8 ภาพถ่าย SEM แสดงลักษณะภาพตัดขวางของ CNTs ที่อุณหภูมิ 750 องศาเซลเซียส

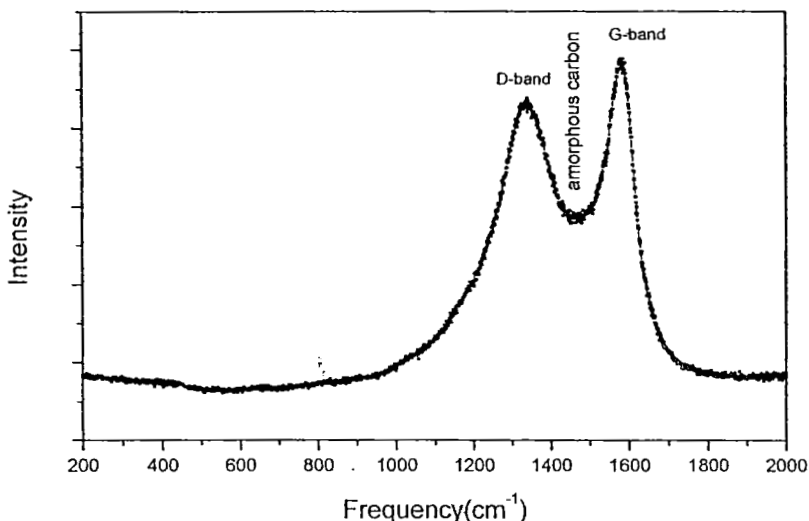
(ก) กำลังขยาย 1,500 เท่า (ข) กำลังขยาย 3,500 เท่า

ในส่วนของการวิเคราะห์ด้วยกล้องจุลทรรศน์อิเล็กตรอนแบบส่องกราดของ ที่สังเคราะห์ที่ อุณหภูมิ 750 องศาเซลเซียส ดังรูปที่ 4.7ก-ข พบว่า CNTs ที่สังเคราะห์ได้ที่อุณหภูมิ 750 องศาเซลเซียส มีลักษณะของท่อโค้งและบิดเป็นเกลียวและมีความหนาแน่นของ CNTs ต่ำหนึ่งหน่วยพื้นที่มากกว่าCNTs ที่สังเคราะห์ได้ที่อุณหภูมิ 700 องศาเซลเซียส ในรูปที่ 4.8ก-ข เมื่อทำการสังเกตทางด้านข้างที่กำลังขยายแตกต่างกัน พบว่าลักษณะของท่อส่วนใหญ่จะปรากฏเป็นเกลอกลมๆ เรียงตัวกันเป็นท่อยาว ผลดังกล่าวอาจจะเกิดจากสาเหตุของการเกิดอะมอฟสสารบอนเป็นจำนวนมากในกระบวนการสังเคราะห์

4.3 ผลการวิเคราะห์ด้วยเครื่องเครื่องวิเคราะห์รูปแบบสเปกโตรสโคปี

การวิเคราะห์สมบัติของ CNTs มักนิยมใช้เทคนิคของรูปแบบสเปกโตรสโคปี เนื่องจากผลของการวิเคราะห์สามารถทำให้เข้าใจระบบโครงสร้างของความไม่เป็นระเบียบของ CNTs ได้ดี ผลของการวิเคราะห์ CNTs แบบผนังหลายชั้นที่เตรียมได้จากการทดลอง ในรูปที่ 4.9 จะเกิดพิกของ G แบนด์ ที่ 1582 cm^{-1} ซึ่งแสดงลักษณะโครงสร้างของชั้นกราไฟต์ของ CNTs ขณะที่ในส่วนของพิก D แบนด์ จะเกิดที่ตำแหน่ง 1338 cm^{-1} พิกดังกล่าวแสดงความไม่เป็นระเบียบของอะดอมคาร์บอนในชั้นกราฟินหรือความบกพร่องของของโครงสร้างในชั้นกราฟิน แต่เนื่องจากระหว่างพิกของ G แบนด์ และ D แบนด์ มี

ฐานค่อนข้างกว้างและซ้อนกัน อาจจะเป็นผลอันเนื่องมาจากการเกิดอะมอฟ์สสารบอนเล็กซ์และกลมๆ ที่สังเกตได้จากกล้องจุลทรรศน์อิเล็กตรอนแบบส่องการดูด ดังในรูปที่ 4.5 หรือผลของปริมาณของอะตอมที่มากเกินไปทำให้การเกิด CNTs ในสภาวะที่ไม่เหมาะสม ทำให้เกิดการรวมกันของcarbonบอนออยู่ในรูปของ carbonaceous [46] หลังทำการทดสอบการดูดซับแก๊สแอมโมเนีย ตำแหน่งพีกของ G แบนด์ และ D แบนด์ไม่มีการเปลี่ยนแปลง



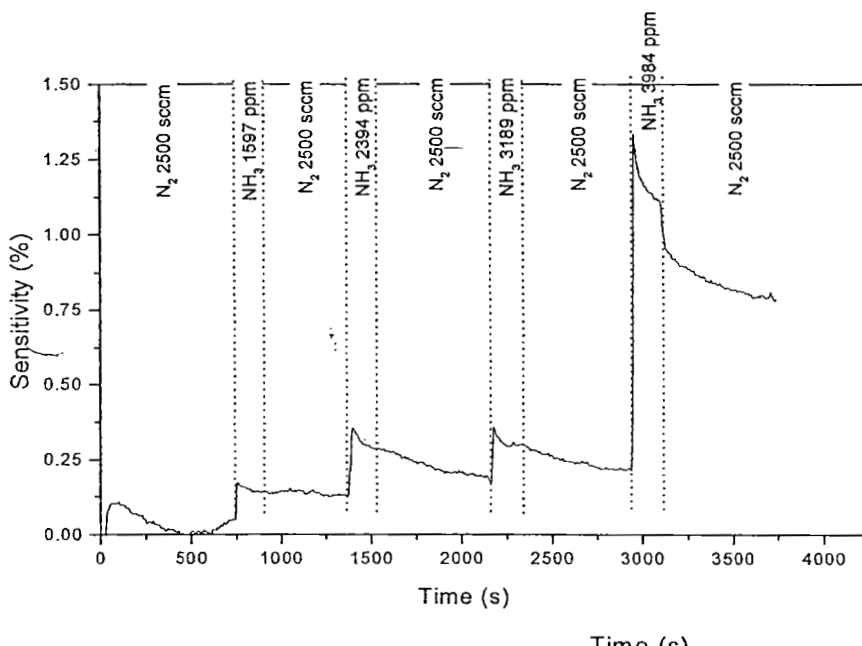
รูปที่ 4.9 แสดงสเปกตรัมรamanของ CNTs ภายใต้การสั่นเคราะห์ที่อุณหภูมิ 700 องศาเซลเซียส

4.4 ผลทางไฟฟ้าของ CNTs สำหรับตัวตรวจจับแก๊ส

CNTs จะถูกนำไปตรวจจับแก๊สแอมโมเนียมที่ความเข้มข้นต่างๆ โดยศึกษาสมบัติการเปลี่ยนแปลงความต้านทานไฟฟ้าของ CNTs เริ่มต้นด้วยการเปิด Rotary pump เพื่อดูดอากาศออกจากระบบ จากนั้นการปล่อยแก๊สในโดรเรนด้วยอัตราการไหล 2500 sccm เป็นเวลา 600 วินาที เพื่อทำการปรับระบบก่อนการทดสอบการตรวจจับแก๊ส จากนั้นทำการปล่อยแก๊สแอมโมเนียมเป็นเวลา 180 วินาทีในแต่ละความเข้มข้น และทำการปล่อยแก๊สในโดรเรนด้วยอัตราการไหล 2500 sccm เป็นเวลา 600 วินาที หลังปล่อยแก๊สแอมโมเนียมทุกครั้งเพื่อกำจัดแก๊สแอมโมเนียมในระบบก่อนทำการปล่อยแอมโมเนียมที่ความเข้มข้นต่อไป การศึกษาเพื่อหาความสัมพันธ์ของประสิทธิภาพของการตรวจจับแก๊ส พิจารณาได้จากค่า

Sensitivity (S) เมื่อความสัมพันธ์ของ $S = \frac{|R - R_0|}{R_0} \times 100$ กำหนดให้ R คือ ความด้านทานไฟฟ้าของ R_0

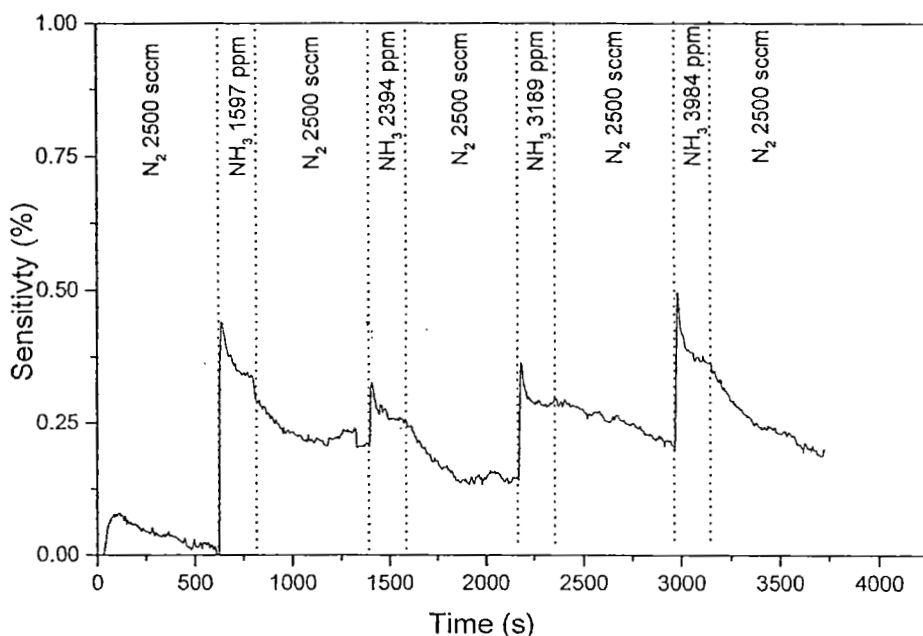
CNTs ขณะปล่อยแก๊สแอมโมเนีย และ R_0 คือ ความด้านทานไฟฟ้าของ CNTs เริ่มต้นภายใต้บรรยากาศในโตรเจนก่อนการปล่อยแก๊สแอมโมเนีย โดยทำการทดลองประสิทธิภาพในการตรวจจับแก๊สที่อุณหภูมิห้อง, 50, 75 และ 100 องศาเซลเซียส CNTs ที่ใช้ในการทดสอบแต่ละอุณหภูมิจะนำมาทดสอบข้าด้วยการให้ความร้อนที่อุณหภูมิ 200 องศาเซลเซียส ในอากาศ เป็นเวลา 30 นาที เมื่อกำจัดโมเลกุลของแอมโมเนีย ก่อนนำไปทดลองในสภาวะอุณหภูมิถัดไป ดังผลการทดลองแสดงในรูปที่ 4.10-4.13



รูปที่ 4.10 แสดงการเปลี่ยนแปลงความด้านทานของ CNTs ที่อุณหภูมิห้องภายใต้บรรยากาศของแก๊สแอมโมเนียที่ความเข้มข้นต่างๆ

จากรูปที่ 4.10 แสดงการเปลี่ยนแปลงความด้านทานไฟฟ้าของ CNTs เมื่อทำการทดสอบการตรวจจับแก๊สแอมโมเนียที่อุณหภูมิห้อง เมื่อทำการเพิ่มความเข้มข้นของแอมโมเนียในระบบ การตรวจจับแก๊สจะมีเปอร์เซนต์ของการเปลี่ยนแปลงความด้านทานที่เพิ่มขึ้น เนื่องจากปริมาณของโมเลกุลแก๊สแอมโมเนียเพิ่มขึ้นทำให้โมเลกุลของแอมโมเนียมีการเกาะติดที่ผิวของ CNTs มากขึ้น และเมื่อทำการพิจารณาผลของการตอบสนองขณะปล่อยแก๊สแอมโมเนียเข้าไปในระบบ การตอบสนองทางไฟฟ้าของ CNTs กับโมเลกุลของแอมโมเนียที่ยึดเกาะบริเวณผิวของ CNTs มีค่าสูงและค่อยๆ ลดลง เมื่อทำการกำจัดโมเลกุลของแอมโมเนียด้วยในโตรเจนเป็นเวลา 600 วินาที โมเลกุลบางส่วนที่ผิวของ CNTs

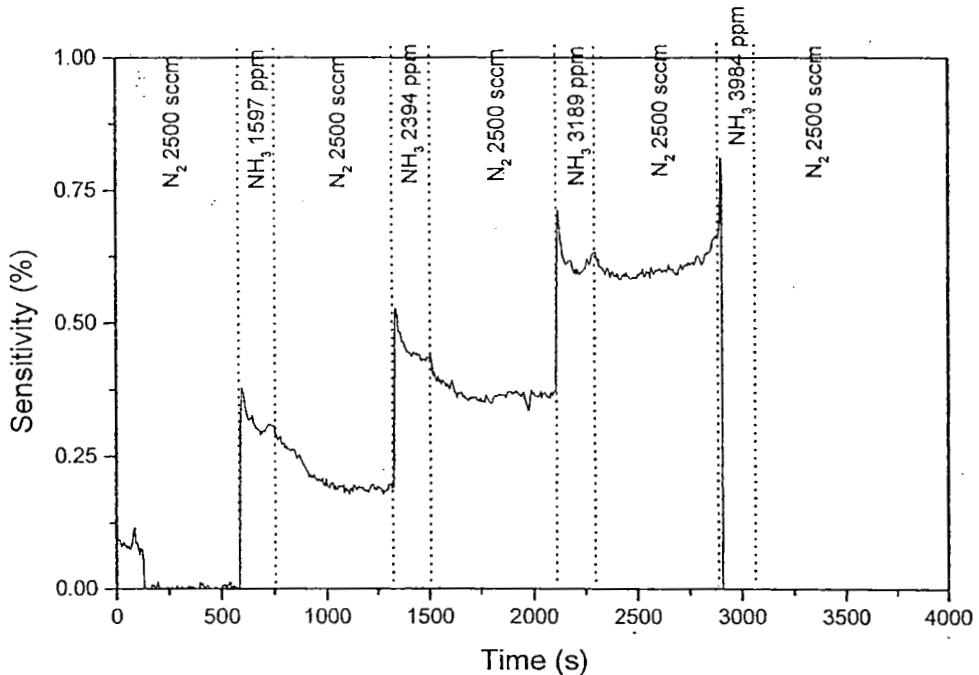
หลุดจะออก ทำให้ความด้านทานของ CNTs มีค่าลดลงและเริ่มคงที่ แต่การลดลงของความด้านทานจะไม่กลับสู่สภาพเดิม เนื่องจากยังมีโมเลกุลบางส่วนยึดเกาะที่ผิวของ CNTs ส่วนที่หลุดออก เป็นโมเลกุลที่ยึดติดกับผิวของ CNTs ด้วยแรงอย่างอ่อน โมเลกุลแอมโมเนียที่เหลืออยู่จำเป็นต้องใช้พลังงานที่สูงขึ้นในการกำจัดออกจากผิวของ CNTs เช่นการให้ความร้อน จากรูปที่ 4.10 สังเกตได้ว่า การเปลี่ยนแปลงความด้านทานไฟฟ้ามีค่าเพิ่มขึ้นเมื่อเพิ่มความเข้มข้น และที่ความเข้มข้นของแอมโมเนีย 1597, 2394, 3189 ppm การเปลี่ยนแปลงความด้านทานมีความแตกต่างกันน้อยมาก แต่มีความแตกต่างที่ชัดเจนที่ความเข้มข้น 3984 ppm



รูปที่ 4.11 แสดงการเปลี่ยนแปลงความด้านทานของ CNTs ที่อุณหภูมิ 50 องศาเซลเซียส ภายใต้บาริยาการ

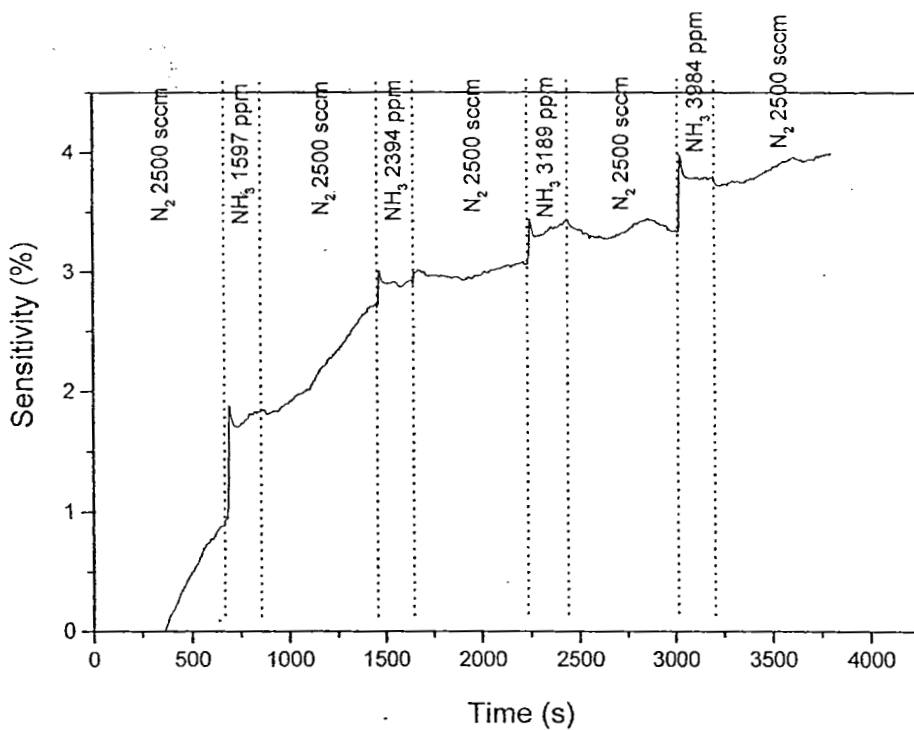
ของแก๊สแอมโมเนียที่ความเข้มข้นต่าง ๆ

เมื่อทำการนำตัวอย่างของ CNTs เดิมจากการทดลองในรูปที่ 4.10 มาให้ความร้อนที่ 200 องศาเซลเซียส เป็นเวลา 30 นาที และนำมาทดสอบการตรวจวัดแก๊สแอมโมเนียอีกครั้งที่อุณหภูมิ 50 องศาเซลเซียส ดังแสดงในรูปที่ 4.11 โดยการเปลี่ยนแปลงความด้านทานระหว่างการตรวจจับแก๊ส แอมโมเนียที่ความเข้มข้นต่าง ๆ ไม่มีความแตกต่างมากนัก เนื่องจากความร้อนที่ให้ยังไม่นานพอที่จะทำให้โมเลกุลของแอมโมเนียหลุดออกไปหมด ทำให้ยังคงทำให้โมเลกุลบางส่วนยังยึดเกาะกับโมเลกุลคาร์บอนที่ผิวของ CNTs



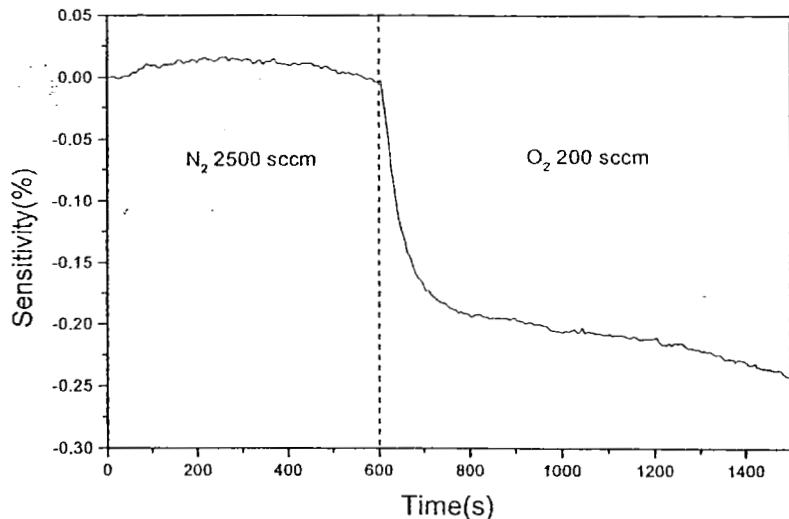
รูปที่ 4.12 แสดงการเปลี่ยนแปลงความต้านทานของ CNTs ที่อุณหภูมิ 75 องศาเซลเซียสภายใต้บรรยากาศของแก๊สแอมโมเนียที่ความเข้มข้นต่าง ๆ

จากรูปที่ 4.12 ทำการให้ความร้อนตามขบวนตามคำบรรยายในรูปที่ 4.11 ก่อนการทดลองปล่อยแก๊สแอมโมเนียเข้าไปยังตัวอย่างของ CNTs การเปลี่ยนแปลงความต้านทานจะมีค่าเพิ่มขึ้น สัมพันธ์กับปริมาณความเข้มข้นของแก๊สแอมโมเนีย หรือกล่าวได้ว่าการเปลี่ยนแปลงความต้านทานจะสอดคล้องกับจำนวนปริมาณโมเลกุลของแอมโมเนียที่เพิ่มขึ้น แต่จากการทดสอบยังแสดงการเปลี่ยนความต้านทานที่ต่ำเมื่อเทียบกับปริมาณความเข้มข้นของแอมโมเนีย ซึ่งอาจเกิดจากสาเหตุอันเนื่องมาจากโครงสร้างอะตอมคาร์บอนที่ผิวด้านนอกของ CNTs มีปริมาณการเกิดอะม็อฟส์คาร์บอนเป็นจำนวนมาก ทำให้ประสิทธิภาพในการดูดซับแก๊สลดลง ผลของความต้านทานที่เพิ่มขึ้นเมื่อมีโมเลกุลของแอมโมเนียไปยังเด็กากะที่ผิวด้าน CNTs เกิดจากทำให้อิเล็กตรอนของโมเลกุลแอมโมเนียเคลื่อนไปยัง CNTs เมื่ออิเล็กตรอนดังกล่าวเคลื่อนไปยังแบบพลังงานว่าเลนซ์ จำนวนไฮล์ใน CNTs จะลดลงและความห่างของชั้นเฟอร์มิและชั้นว่าเลนซ์ของ CNTs จะเพิ่มขึ้น ด้วยเหตุนี้ ทำให้การก่อตัวของประจุบริเวณผิวด้าน CNTs ทำให้ไฮล์ของ CNTs ลดลง เป็นเหตุให้ความต้านทานไฟฟ้าของ CNTs มีค่าเพิ่มขึ้น [47]

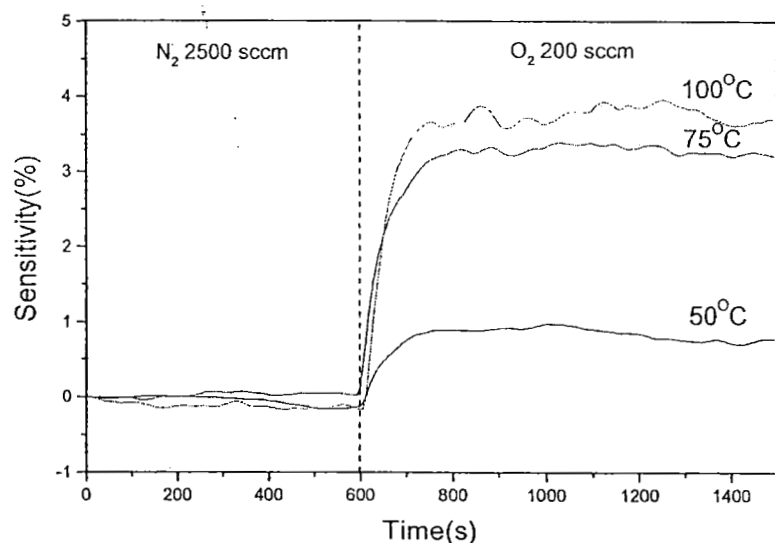


รูปที่ 4.13 แสดงการเปลี่ยนแปลงความต้านทานของ CNTs ที่อุณหภูมิ 100 องศาเซลเซียส
ภายใต้บรรยากาศของแก๊สแอมโมเนียที่ความเข้มข้นต่าง ๆ

ในส่วนของผลการทดลองการทดสอบแก๊สแอมโมเนียที่อุณหภูมิ 100 องศาเซลเซียส ดังรูปที่ 4.13 ค่าความต้านทานมีแนวโน้มที่เพิ่มขึ้น ทั้งกรณีที่ CNTs อยู่ในบรรยากาศของแก๊สแอมโมเนียและแก๊สไนโตรเจน ผลการทดลองที่ได้มีความแตกต่างจากการทดลองที่อุณหภูมิห้อง, 50 และ 75 องศาเซลเซียส ผลจากการทดลองที่ได้อาจเกิดได้หลายสาเหตุ ซึ่งสามารถแยกเป็นกรณีได้ดังนี้ (1) เกิดจากผลของการระเจิงของอิเล็กตรอนที่สูงขึ้น (2) การไหลของแก๊สมีอัตราการไหลที่สูงขึ้นเนื่องจากโมเลกุล มีพลังงานจลน์ที่สูง CNTs มีการสั่นมากขึ้น การยึดเกาะของโมเลกุลแอมโมเนียกับ CNTs ลดลง (3) โมเลกุลของแก๊สแอมโมเนียเกิดพฤติกรรมการยึดเกาะที่ผิว กับอัตราของ CNTs ทั้งทางกายภาพและทางเคมี ทำให้การกำจัดโมเลกุลแอมโมเนียที่ผิวให้หลุดมีความยากมากขึ้น เนื่องจากลักษณะการยึดเกาะทางเคมีจะมีพลังงานที่ใช้ในการยึดเกาะที่สูงกว่าทางกายภาพ ที่อุณหภูมิ 100 องศาเซลเซียส อาจมีผลทำให้โมเลกุลของแก๊สแอมโมเนียเกาะติดกับ CNTs ได้ดีกว่าที่อุณหภูมิต่ำ



รูปที่ 4.14 แสดงการเปลี่ยนแปลงความต้านทานของ CNTs ที่อุณหภูมิห้องภายใต้บรรยากาศของแก๊สออกซิเจน



รูปที่ 4.15 แสดงการเปลี่ยนแปลงความต้านทานของ CNTs ที่อุณหภูมิ 50,75 และ 100 องศาเซลเซียส
ภายใต้บรรยากาศของแก๊สออกซิเจน

รูปที่ 4.14 แสดงผลการทดลองการตรวจจับโมเลกุลของแก๊สออกซิเจนที่อุณหภูมิห้องโดย พบว่า ค่าความต้านทานทางไฟฟ้ามีค่าลดลงเมื่อ CNTs สัมผัสถูกแก๊สออกซิเจน เนื่องจากอิเล็กตรอนเคลื่อนที่จาก CNTs ไปยังโมเลกุลของแก๊สออกซิเจน ทำให้จำนวนโอลใน CNTs จะเพิ่มขึ้นและความห่างของชั้น

เพื่อมิและชั้นวางซ์ของ CNTs จะลดลง เป็นเหตุให้ความด้านทานไฟฟ้าของ CNTs มีค่าลดลง ในขณะที่ผลการทดลองการตรวจจับโมเลกุลของแก๊สออกซิเจนที่อุณหภูมิ 50, 75 และ 100 องศาเซลเซียส ดังแสดงในรูปที่ 4.15 พบว่าค่าความด้านทานทางไฟฟ้ามีค่าเพิ่มขึ้น สาเหตุดังกล่าวมาจากการเพิ่ม อุณหภูมิที่ใช้จะมีผลทำให้เกิด lattice vibration เพิ่มมากขึ้น ทำให้อิเล็กตรอนเกิดการกระเจิงที่สูงขึ้น ซึ่ง แสดงผลการเปลี่ยนแปลงความด้านทานที่เด่นชัดกว่าการดูดซับโมเลกุลของแก๊สออกซิเจนกับ CNTs ส่งผลทำให้ค่าความด้านทานทางไฟฟ้ามีค่าเพิ่มมากขึ้น

บทที่ 5

สรุป อภิปรายผล และข้อเสนอแนะ

MWNTs ทำการสังเคราะห์ภายใต้กระบวนการ CVD ที่อุณหภูมิ 700 และ 750 องศาเซลเซียส โดยใช้ฟิล์มโลหะนิกเกิลบนแผ่นชิลิกอนเป็นตัวควบคุมตัวสั่ง การสังเคราะห์ดังกล่าวเนื่องจากCNTs จะใช้แก๊สอะเซทีลีนเป็นตัวดันกำเนิดการบ่อนในการสังเคราะห์และแก๊สแอมโมเนียเพื่อช่วยในการสร้างเม็ดเกรนของนิกเกิล และผลจากการสังเคราะห์ CNTs ภายใต้เงื่อนไขที่อุณหภูมิ 700 และ 750 องศาเซลเซียส ทำการสังเกตโครงสร้างสัณฐานด้วยกล้องจุลทรรศน์อิเล็กตรอนแบบส่องการดูแลกัล้องจุลทรรศน์ อิเล็กตรอนแบบส่องผ่าน พนวัมมีແลบชันฟิล์มของคาร์บอนอสัณฐานแกะที่บริเวณผิวของ CNTs และบางตำแหน่งก่อตัวเป็นก้อนกลม ซึ่งสอดคล้องกับการวิเคราะห์ด้วยเครื่องรามานสเปกโตรสโคปี ที่ปรากฏพิกัดเจนอยู่ที่ตำแหน่ง 1338 cm^{-1} และ 1852 cm^{-1} แสดงตำแหน่งของพิก D แบบ D และ G แบบ G ของ CNTs และปรากฏตำแหน่งพิกของคาร์บอนอสัณฐานขึ้น จากการสังเคราะห์ด้วยเงื่อนไขของการทดลองนี้ ทำให้เกิดปริมาณของคาร์บอนอสัณฐานขึ้นจำนวนมาก ซึ่งผลน่าจะเกิดจากสาเหตุของการลดอุณหภูมิขณะสังเคราะห์เร็วเกินไป ทำให้ปริมาณคาร์บอนที่ยังไม่เกิดการก่อตัวเป็นห่อในคาร์บอนมีการรวมตัวกัน เกิดเป็นกลุ่มก้อนแกะติดกับ CNTs เมื่อนำ CNTs ที่ทำการสังเคราะห์ที่อุณหภูมิ 700 องศาเซลเซียส เนื่องจากมีปริมาณการก่อตัวกลุ่มก้อนของคาร์บอนอสัณฐานน้อยกว่าที่อุณหภูมิ 750 องศาเซลเซียส มากทดสอบการตรวจวัดแก๊สแอมโมเนีย พนวัมประสิทธิภาพในการตรวจจับแก๊สค่อนข้างต่ำ อันเนื่องมาจากผลของคาร์บอนอสัณฐานที่มีอยู่ในปริมาณมากบริเวณผิวของ CNTs เมื่อทำการตรวจวัดแก๊สแอมโมเนียที่ความเข้มข้นต่างๆ พนวัมที่ความเข้มข้นเพิ่มขึ้นเกิดการเปลี่ยนแปลงความด้านทานของ CNTs ที่สูงขึ้น เมื่อนำ CNTs มาให้ความร้อนที่ 200 องศาเซลเซียส ประมาณ 30 นาที สามารถนำกลับมาใช้ทดสอบการตรวจจับแก๊สซ้ำได้ เมื่อมีการกำจัดโมเลกุลของแก๊สแอมโมเนียออกจากผิวของ CNTs ด้วยวิธีการให้ความร้อนขณะที่การใช้แก๊สในโตรเจนให้ผ่านเพื่อถึงโมเลกุลของแก๊สแอมโมเนียออกนั้นจะสามารถถึงโมเลกุลที่ผิวของ CNTs หลุดได้บ้างส่วน ในส่วนของโมเลกุลแอมโมเนียที่ยังคงเหลืออยู่จะถูกดูดติดกับ CNTs จากการทดสอบการตรวจจับแก๊สแอมโมเนียของ CNTs ที่อุณหภูมิต่ำ การยึดเกาะยังเป็นการยึดกันในรูปแบบทางกายภาพระหว่างโมเลกุลของแอมโมเนียและอะตอมที่ผิวของ CNTs เมื่อทดสอบการตรวจจับแก๊สแอมโมเนียที่อุณหภูมิ 100 องศาเซลเซียส การเปลี่ยนแปลงความด้านทานมีค่าเพิ่มขึ้น สัมพันธ์กับการเพิ่มขึ้นของความเข้มข้นของแก๊สแอมโมเนีย แต่หลังจากหยุดปล่อยแก๊สแอมโมเนีย การเปลี่ยนแปลงความด้านทานยังคงมีแนวโน้มที่เพิ่มขึ้น ขณะให้อัตราการไหลของแก๊สในโตรเจนไว้ที่

2500 sccm แสดงให้เห็นว่าการเปลี่ยนแปลงความด้านทานยังคงมีค่าเพิ่มขึ้นตรงกันข้ามกับผลการทดลองที่อุณหภูมิห้อง, 50 และ 75 องศาเซลเซียส ซึ่งอาจจะเกิดจากสาเหตุที่โมเลกุลของแก๊สแอมโมเนียมีการยึดเกาะที่ผิวของ CNTs นอกจากทางกายภาพแล้วยังมีการยึดเกาะในทางเคมีขึ้น ทำให้มีการหลุดออกจากผิวของโมเลกุลแก๊สแอมโมเนียมีระทำได้ยากขึ้น การเปลี่ยนแปลงความด้านทานไฟฟ้าของ CNTs จึงยังคงมีค่าสูง รวมทั้งอาจจะมีการสั่นของ CNTs และผลของการระเจิงของอิเล็กตรอนขณะทำการวัดความด้านทานมากขึ้น เข้ามา มีอิทธิพลต่อการเพิ่มขึ้นของความด้านทาน

ผลการทดสอบ CNTs ที่สังเคราะห์ที่อุณหภูมิ 700 องศาเซลเซียส มาตรวัดโมเลกุลของแก๊สออกซิเจนที่อุณหภูมิต่างๆ พบว่าผลการตรวจวัดที่อุณหภูมิห้อง CNTs เมื่อสัมผัสกับแก๊สออกซิเจน การเปลี่ยนแปลงความด้านทานค่าลดลง เนื่องจากอิเล็กตรอนเคลื่อนที่จาก CNTs ไปยังโมเลกุลของแก๊สออกซิเจน ทำให้จำนวนโลโซลใน CNTs เพิ่มขึ้นและความห่างของชั้นเฟอร์มิและชั้น瓦เลนซ์ของ CNTs จะลดลง เป็นเหตุให้ความด้านทานไฟฟ้าของ CNTs มีค่าลดลง ขณะที่ผลการตรวจวัดที่อุณหภูมิ 50, 75 และ 100 องศาเซลเซียส พบว่าการเปลี่ยนแปลงความด้านทานมีค่าเพิ่มขึ้น สาเหตุดังกล่าวมาจากการเพิ่มอุณหภูมิที่ใช้ในการตรวจวัด เป็นผลทำให้เกิด lattice vibration เพิ่มมากขึ้น ส่งผลให้อิเล็กตรอนเกิดการกระเจิงที่สูงขึ้น ซึ่งค่า lattice vibration แสดงผลเด่นชัดกว่าการดูดซับโมเลกุลของแก๊สออกซิเจนกับ CNTs ทำให้การเปลี่ยนแปลงความด้านทานทางมีค่าเพิ่มมากขึ้น โดยมีค่ามากที่สุดที่อุณหภูมิ 100 องศาเซลเซียส

เอกสารอ้างอิง

1. M. Cinle, J. Li, B. Chen, A. Cassell, L. Delzeit, J. Han, M. Meyyappan, Chem. Phys. Lett., 365 (2002) 65.
2. S. Iijima, Nature (London) 363 (1993) 603.
3. A. Thess, R. Lee, P. Nikolaev, H. J. Dai, P. Petit, J. Robert, C.H. Xu, Y.H. Lee, S. G. Kim, A. G. Rinzler, D.T. Colbert, G. E. Scuseria, D. Tomanek, J. E. Fischer, R. E. Smalley, Science 273 (1996) 483.
4. K. B.K. Teo, M. Chhowalla, G.A. J. Amaratunga, W. I. Milne, D. G. Hasko, G.Pirio, P. Legagneux, F. Wyczisk, D. Pribat, Appl. Phys. Lett., 79 (2001) 1534.
5. Belin, T.; Epron, F. Characterization methods of carbon nano-tubes: A review. Mater. Sci. Eng., B 2005, 119, (2), 105.
6. Popov, V. N. Carbon nanotubes: Properties and application. Mater. Sci. Eng., R 2004, 43 (3), 61
7. Shyu, Y.-M.; Hong, F. C.-N. Low-temperature growth and field emission of aligned carbon nanotubes by chemical vapor deposition. Mater. Chem. Phys. 2001, 72 (2), 223
8. Teo, K. B. K.; Singh, C.; Chhowalla, M.; Milne, W. I. Catalytic synthesis of carbon nanotubes and nanofibers. Encycl. Nanosci. Nanotechnol. 2004, 1, 665.
9. Lee, Y. T.; Park, J. Temperature dependent growth of vertically aligned carbon nanotubes in the range 800 1100 °C. J. Phys. Chem. B 2002, 106 (31), 7614.
10. Kumar, M.; Ando, Y. Controlling the diameter distribution of carbon nanotubes grown from camphor on a zeolite support. Carbon 2005, 43 (3), 533.
11. Iijima, S. Helical microtubules of graphitic carbon. Nature 1991, 354, 56.
12. Nikolaev, P.; Bronikowski, M. J.; Bradley, R. K.; Rohmund, F.; Colbert, D. T.; Smith, K. A.; Smalley, R. E. Gas-phase catalytic growth of single-walled carbon nanotubes from carbon monoxide. Chem. Phys. Lett. 1999, 313 (1 2), 91.
13. Lin, C. H.; Lee, S. H.; Hsu, C. M.; Kuo, C. T. Comparisons on properties and growth mechanisms of carbon nanotubes fabricated by high-pressure

- and low-pressure plasma-enhanced chemical vapor deposition. *Diamond Relat. Mater.* 2004, 13 (11-12), 2147.
14. Buchholz, D. B.; Doherty, S. P.; Chang, R. P. H. Mechanism for the growth of multiwalled carbon-nanotubes from carbon black. *Carbon* 2003, 41 (8), 1625.
 15. Lavrentiev, V.; Abe, H.; Yamamoto, S.; Naramoto, H.; Narumi, K. Formation of carbon nanotubes under conditions of Co C₆₀ film. *Physica B* 2002, 323 (1-4), 303.
 16. Li, Y. L.; Kinloch, I. A.; Shaffer, M. S. P.; Geng, J.; Johnson, B.; Windle, A. H. Synthesis of single-walled carbon nanotubes by a fluidized-bed method. *Chem. Phys. Lett.* 2004, 384 (1-3), 98.
 17. Wang, Y.; Wei, F.; Luo, G.; Yu, H.; Gu, G. The large-scale production of carbon nanotubes in a nano-agglomerate fluidized-bed reactor. *Chem. Phys. Lett.* 2002, 364 (5-6), 568.
 18. Perez-Cabero, M.; Rodriguez-Ramos, I.; Guerrero-Ruiz, A. Characterization of carbon nanotubes and carbon nanofibers prepared by catalytic decomposition of acetylene in a fluidized bed reactor. *J. Catal.* 2003, 215 (2), 305.
 19. Cheng, H. M.; Li, F.; Su, G.; Pan, H. Y.; He, L. L.; Sun, X.; Dresselhaus, M. S. Large-scale and low-cost synthesis of single-walled carbon nanotubes by the catalytic pyrolysis of hydrocarbons. *Appl. Phys. Lett.* 1998, 72 (25), 3282.
 20. Maruyama, S.; Kojima, R.; Miyauchi, Y.; Chiashi, S.; Kohno, M. Low-temperature synthesis of high-purity single-walled carbon nanotubes from alcohol. *Chem. Phys. Lett.* 2002, 360 (3-4), 229.
 21. Murakami, Y.; Miyauchi, Y.; Chiashi, S.; Maruyama, S. Characterization of single-walled carbon nanotubes catalytically synthesized from alcohol. *Chem. Phys. Lett.* 2003, 374 (1-2), 53.
 22. Resasco, D. E.; Alvarez, W. E.; Pompeo, F.; Balzano, L.; Herrera, J. E.; Kitayanan, B.; Borgna, A. A scalable process for production of single-walled carbon nanotubes (SWNTs) by catalytic disproportionation of CO on a solid catalyst. *J. Nanopart. Res.* 2002, 4 (1-2), 131.

23. Inoue, S.; Nakajima, T.; Kikuchi, Y. Synthesis of single-wall carbon nanotubes from alcohol using Fe/Co, Mo/Co, Rh/Pd catalysts. *Chem. Phys. Lett.* 2005, 406 (1 3), 184.
24. Mauron, P.; Emmenegger, C.; Sudan, P.; Wenger, P.; Rentsch, S.; Zuttel, A. Fluidised-bed CVD synthesis of carbon nanotubes on Fe₂O₃/MgO. *Diamond Relat. Mater.* 2003, 12 (3 7), 780.
25. Li, Y. L.; Kinloch, I. A.; Shaffer, M. S. P.; Geng, J.; Johnson, B.; Windle, A. H. Synthesis of single-walled carbon nanotubes by a fluidized-bed method. *Chem. Phys. Lett.* 2004, 384 (1 3), 98.
26. Kathyayini, H.; Nagaraju, N.; Fonseca, A.; Nagy, J. B. Catalytic activity of Fe, Co. and Fe/Co supported on Ca and Mg oxides, hydroxides and carbonates in the synthesis of carbon nanotubes. *J. Mol. Catal. A* 2004, 223 (1 2), 129.
27. Resasco, D. E.; Alvarez, W. E.; Pompeo, F.; Balzano, L.; Herrera, J. E.; Kitayanan, B.; Borgna, A. A scalable process for production of single-walled carbon nanotubes (SWNTs) by catalytic disproportionation of CO on a solid catalyst. *J. Nanopart. Res.* 2002, 4 (1 2), 131.
28. Mehn, D.; Fonseca, A.; Bister, G.; Nagy, J. B. A comparison of different preparation methods of Fe/Mo/Al₂O₃ sol-gel catalyst for synthesis of single wall carbon nanotubes. *Chem. Phys. Lett.* 2004, 393 (4 6), 378.
29. Kathyayini, H.; Nagaraju, N.; Fonseca, A.; Nagy, J. B. Catalytic activity of Fe, Co. and Fe/Co supported on Ca and Mg oxides, hydroxides and carbonates in the synthesis of carbon nanotubes. *J. Mol. Catal. A* 2004, 223 (1 2), 129.
30. Mehn, D.; Fonseca, A.; Bister, G.; Nagy, J. B. A comparison of different preparation methods of Fe/Mo/Al₂O₃ sol-gel catalyst for synthesis of single wall carbon nanotubes. *Chem. Phys. Lett.* 2004, 393 (4 6), 378.
31. Liu, B. C.; Lyu, S. C.; Jung, S. I.; Kang, H. K.; Yang, C. W.; Park, J. W.; Park, C. Y.; Lee, C. J. Single-walled carbon nanotubes produced by catalytic chemical vapor deposition of acetylene over Fe-Mo/MgO catalyst. *Chem. Phys. Lett.* 2004, 383 (1 2), 104.
32. Liu, B. C.; Lyu, S. C.; Jung, S. I.; Kang, H. K.; Yang, C. W.; Park, J. W.; Park, C. Y.; Lee, C. J. Single-walled carbon nanotubes produced by

- catalytic chemical vapor deposition of acetylene over Fe-Mo/MgO catalyst. *Chem. Phys. Lett.* 2004, 383 (1 2), 104.
33. Baker, R. T. K. Catalytic growth of carbon filaments. *Carbon* 1989, 27 (3), 315.
34. Sinnott, S. B.; Andrews, R.; Qian, D.; Rao, A. M.; Mao, Z.; Dickey, E. C.; Derbyshire, F. Model of carbon nanotube growth through chemical vapor deposition. *Chem. Phys. Lett.* 1999, 315 (1 2), 25.
35. Yu, Z.; Chen, D.; Totdal, B.; Holmen, A. Effect of catalyst preparation on the carbon nanotube growth rate. *Catal. Today* 2005, 100 (3 4), 261.
36. Kukovitsky, E. F.; L'Vov, S. G.; Sainov, N. A.; Shustov, V. A.; Chernozatonskii, L. A. Correlation between metal catalyst particle size and carbon nanotube growth. *Chem. Phys. Lett.* 2002, 355 (5 6), 497.
37. Zhang, H.; Xue, X.; Wang, D.; He, Y.; Peng, S. The effect of different kinds of inert gases and their pressures on the preparation of carbon nanotubes by carbon arc method. *Mater. Chem. Phys.* 1999, 58, 1 5.
38. Bladh, K.; Falk, L. K. L.; Rohmund, F. On the iron-catalysed growth of single-walled carbon nanotubes and encapsulated metal particles in the gas phase. *Appl. Phys. A* 2000, 70 (3), 317.
39. Choi, K. S.; Cho, Y. S.; Hong, S. Y.; Park, J. B.; Kim, D. J. Effects of ammonia on the alignment of carbon nanotubes in metal-assisted thermal chemical vapor deposition. *J. Eur. Ceram. Soc.* 2001, 21 (10 11), 2095.
40. Y.D. Lee, W-S. Cho, S. Moon, Y-H. Lee, J.K. Kim, S. Nahm, B-K. Ju, *Chem.Phys.Lett.*, 433 (2006) 105.
41. C. Cantalini, L. Lozzi, I. Armentano, J.M. Kenny, S.Santucci, *Sens. Actuators B* 93 (2003) 333.
42. M. Krishna Kumar, S. Ramaprabhu, *International Journal of Hydrogen Energy*, 32 (2007) 2518.
43. L. Valentini, L. Lozzi, C. Cantalini, I. Armentano, J.M. Kenny, L. Ottaviano, S. Santucci, *Thin Solid Films*, 436 (2003) 95.
44. A. Star, T-R. Han, V. Joshi, J-CP. Gabriel, G. Gruener, *Adv. Mater.* 16(2004) 2069.
45. S. Chopra, A.Pham, J. Gaillard, A. Parker, A.M. Rao, *Appl. Phys. Lett.*, 80(2002) 4632.

46. C. Zhangyi, S. Zhuo, G. Pingsheng, and C. Yiwei, Mater Sci. China., 1(1) (2007) 92-96.
47. W. Zhang and W.H. Zhang, J. Sensors., 2009 (2009) ID160698 16 pags.

ภาคผนวก (เอกสารที่ได้ดำเนินการเผยแพร่)

1. Muangrat. W, Gallnom. E, Deachapunya S, Wanthalachaisaeng. B, Pfeiler. W, Issro. C, ***Effect of temperature on NH₃ adsorption behavior of Multi-walled carbon nanotube gas sensor.*** Conference on NanoThailand 2010; November 18-20, 2010.

**Effect of temperature on NH₃ adsorption behavior of
multi-walled carbon nanotube gas sensor**

ABSTRACT

This study shows the influence of operation temperature on NH₃ gas sensors made from multi-walled carbon nanotubes (MWNTs). The sensors were exposed to nitrogen as a cleaner gas of NH₃ at operation temperatures of room temperature, 50°C, 75°C and 100°C. MWNTs were grown by thermal chemical vapor deposition (thermal CVD) under C₂H₂ gas as a carbon source. As a catalyst, Ni thin film of 20 nm thickness was deposited on p-type silicon substrate by dc sputtering. The MWNTs were synthesized at 700 °C and were used to detect NH₃ gas at various gas concentrations in the range from 1000 ppm to 4000 ppm. The morphology and structure of the synthesized MWNTs was characterized by scanning electron microscopy (SEM), transmission electron microscopy (TEM) and Raman spectroscopy. The results show that many of the carbon atoms grow in an amorphous state on the surface of the carbon nanotubes (CNTs): The sensitivity of the electrical resistance measurement used to read out the MWNT-based gas sensors increased with increasing NH₃ gas concentration. At 100°C, the sensors show a high sensitivity for the detection of NH₃ gas with hard to remove NH₃ molecules from the CNTs surface by the carrier gas. From this behavior, we conclude that the physical-chemical bonding of NH₃ molecules to carbon atoms on the CNTs surface plays an important role for the temperature behavior of this MWNT-based gas sensor

2. Muangrat. W, and Issro. C, ***Effect of temperature on the synthesis of carbon nanotubes by thermal chemical vapor deposition.*** Conference on The 19th National Graduate Research Conference; December 23-24, 2010.

Effect of temperature on the synthesis of carbon nanotubes

by thermal chemical vapor deposition

Abstract

In this research, carbon nanotubes (CNTs) were synthesized by thermal chemical vapor deposition (CVD) in different growth temperature. Acetylene (C_2H_2) and Nickel were used as a carbon source and metal catalyst, respectively. The morphology and average density of Ni particles depend on the temperature were characterized by scanning electron microscopy (SEM). It was found that the change of Ni thin film to the distribution of Ni particles on silicon oxide surface with temperature at 700, 750 and 800°C, the average density of Ni particles per square centimeters was decreased from 10×10^8 , 7×10^8 and 5×10^8 , respectively. As the synthesis temperature of CNTs at 850, 900 and 950°C, the average diameter of CNTs were increased with increasing of synthesis temperature. The synthesis temperature at 900 and 950°C, Multi-walled Carbon Nanotubes (MWNTs) showed a bamboo-like structure. Also, a higher degree of crystalline perfection, transmission electron microscopy (TEM) and Raman spectroscopy can be observed at 950°C in CNTs. The results show that the density of Ni particles, diameter and crystallinity of CNTs can be controlled with the synthesis temperature.

281138

บทคัดย่อ

งานวิจัยนี้ได้ทำการสังเคราะห์ท่อนาโนคาร์บอนด้วยวิธีการเคลือบไฮโรเยห์ทางเคมีด้วยความร้อนที่อุณหภูมิต่างๆ โดยใช้แก๊สอะเซทิลีนและนิกเกิลเป็นแหล่งกำเนิดcarbonและโลหะตะลิสต์ตามลำดับ โครงสร้างสัณฐานและค่าเฉลี่ยความหนาแน่นของอนุภาคนิกเกิลจะขึ้นกับอุณหภูมิซึ่งจากการตรวจสอบด้วยกล้องจุลทรรศน์อิเล็กตรอนแบบส่องกราด พบว่าอุณหภูมิที่ใช้ในการเปลี่ยนฟิล์มบางนิกเกิลเป็นอนุภาคนิกเกิลที่กระจายตัวอยู่บนพื้นผิวของชิลิคอนออกไซด์ที่ 700 , 750 และ 800 องศาเซลเซียส มีค่าเฉลี่ยความหนาแน่นของอนุภาคในหนึ่งหน่วยตารางเซนติเมตรเท่ากับ 10×10^9 , 7×10^9 และ 5×10^9 ตามลำดับ เมื่อทำการสังเคราะห์ท่อนาโนคาร์บอนที่อุณหภูมิ 850 , 900 และ 950 องศาเซลเซียส ขนาดเส้นผ่าศูนย์กลางของท่อนาโนคาร์บอนมีค่าเพิ่มขึ้นเมื่ออุณหภูมิของการสังเคราะห์เพิ่มขึ้น โดยท่อนาโนคาร์บอนที่สังเคราะห์ที่อุณหภูมิ 900 และ 950 องศาเซลเซียส มีลักษณะเป็นท่อนาโนคาร์บอนแบบผังหลาหยันคล้ายตันไฝ ผลจากการสังเกตด้วยกล้องจุลทรรศน์อิเล็กตรอนแบบส่องผ่านและเครื่องรานานสเปกโตรสโคปพบความสมบูรณ์ของท่อนาโนคาร์บอนที่อุณหภูมิ 950 องศาเซลเซียส สูงกว่า อุณหภูมิอื่นๆ ซึ่งผลที่ได้แสดงให้เห็นว่าความหนาแน่นของอนุภาคนิกเกิล ขนาดเส้นผ่าศูนย์กลางและความสมบูรณ์ของท่อนาโนคาร์บอนสามารถควบคุมได้ด้วยอุณหภูมิของการสังเคราะห์